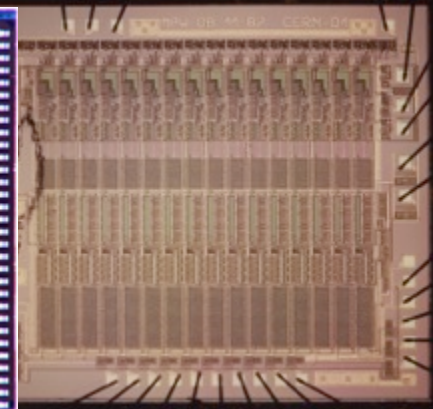
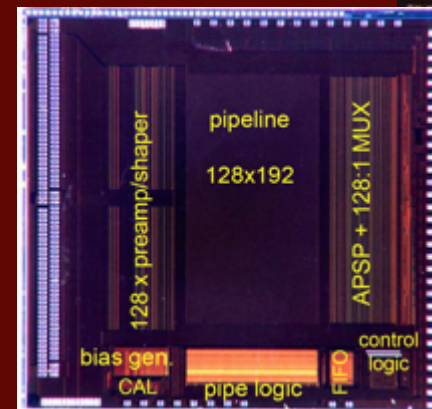


Erik H.M. Heijne
CERN – PH Dept. CH 1211
Geneva 23

Institute for Experimental and
Applied Physics of the Czech
Technical University in Prague

Nikhef Amsterdam
Erik.Heijne@cern.ch



Silicium

Pixel Detectors

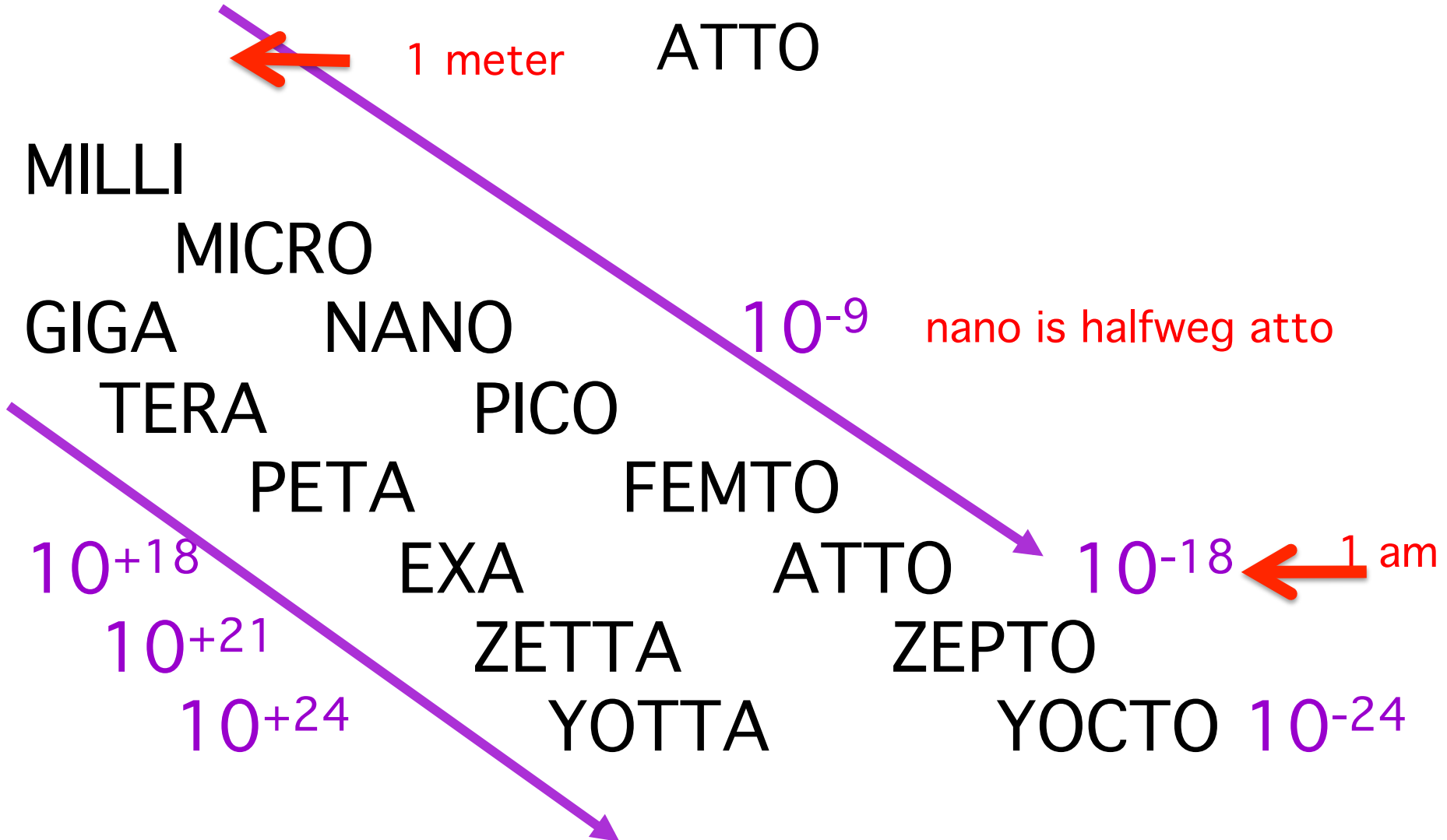
CERN en Medipix

Groter en Kleiner wat is atto?



Erik HEIJNE CERN EP Department

NNV bezoek 26 september 2017



Kun je elementaire deeltjes zien?

het deeltje zelf niet, maar wel het spoor
omdat energie wordt afgegeven in materie

moet wel een handig materiaal kiezen als detector

gas: Geiger-Müller, nevelkamer, dradenkamer, ..

vloeistof: bellenvat, argon-ionisatiekamer, ..

vaste stof: film, scintillator, halfgeleider, ..

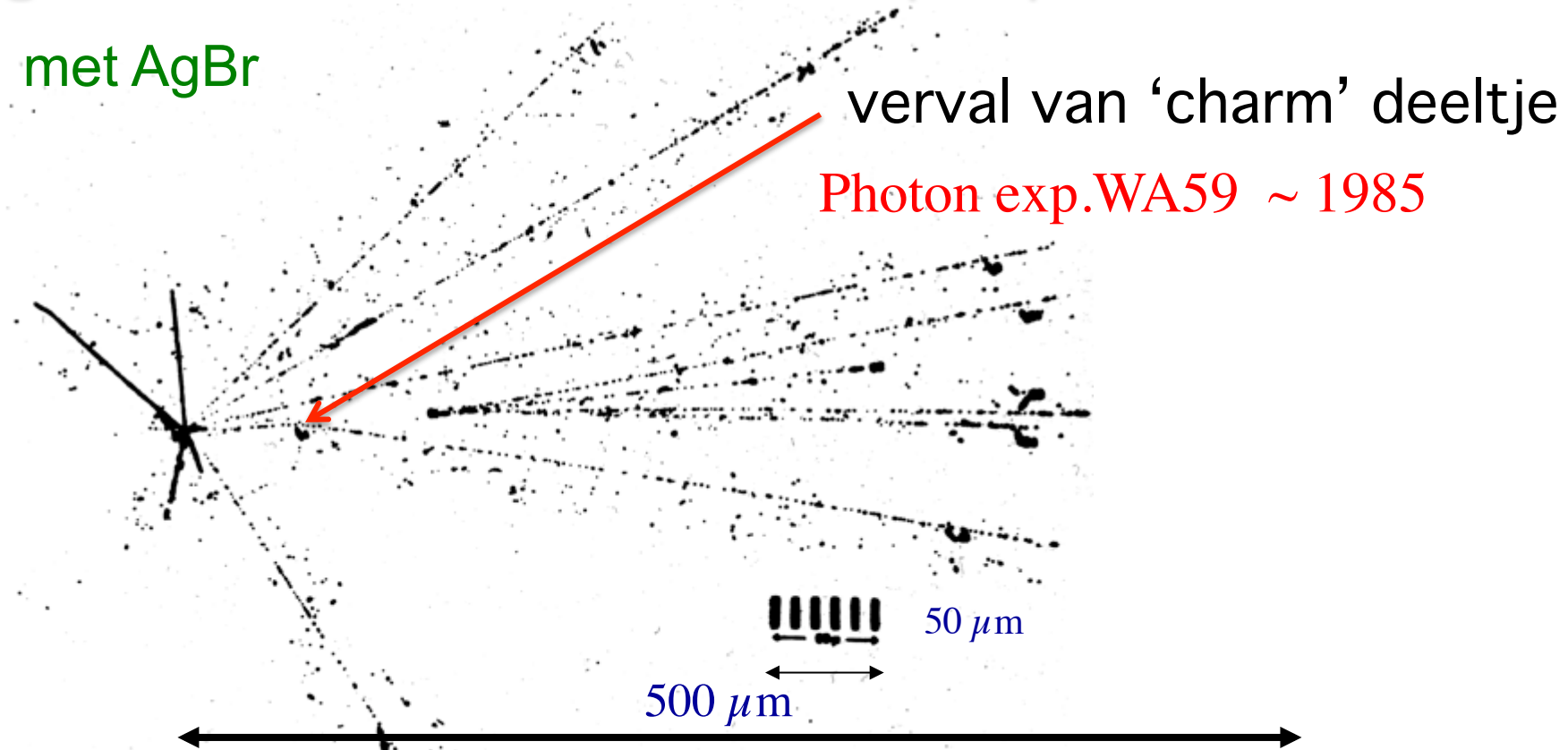
signaal: zwarting, belletjes, licht, elektrische puls



Lichtgevoelige Emulsie als Detektor (>1945)

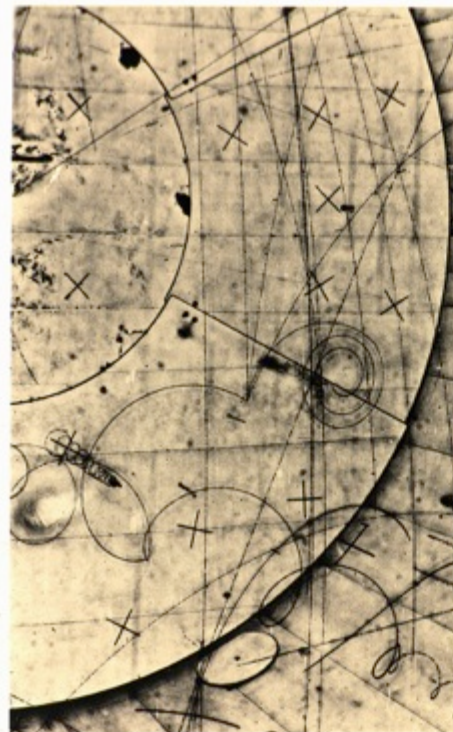
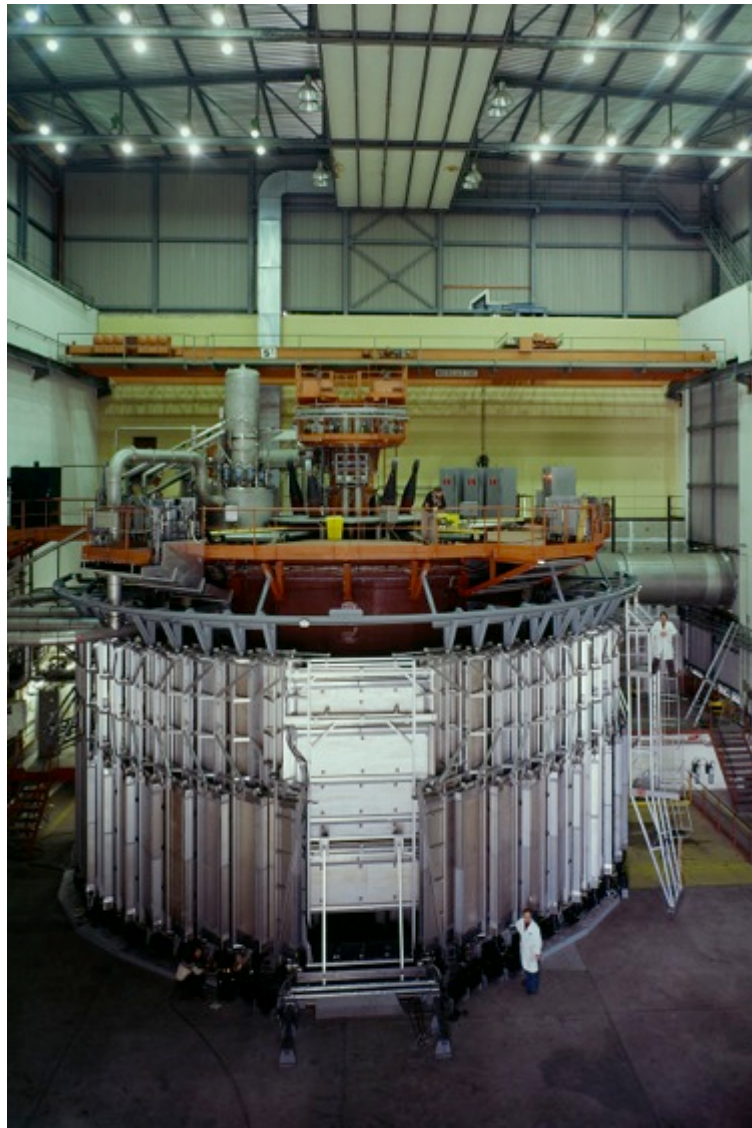
gelatine film 3D, sub- μm precisie

met AgBr

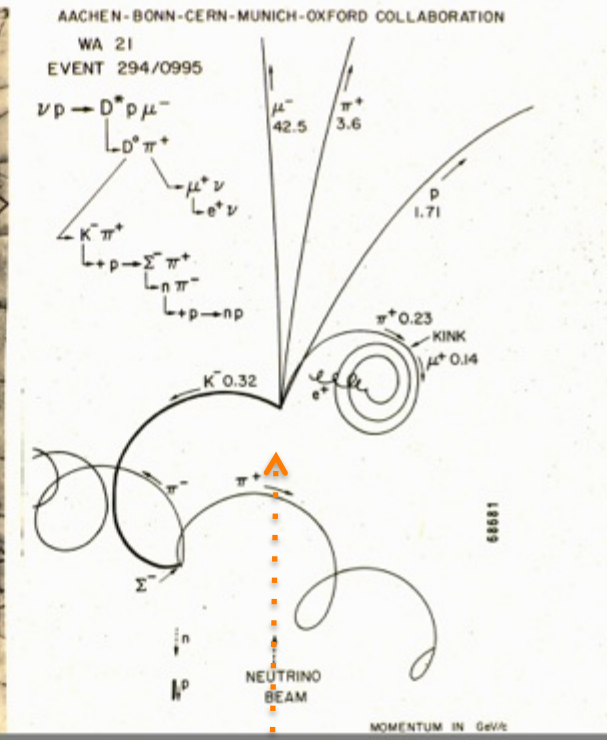


opeenvolgende ionizerende overdrachten van energie ($\sim 5\text{keV}$) creëren latent beeld van zilverkorrels, zichtbaar na ontwikkelbad afstand $\sim 50\mu\text{m}$ met lichtsnelheid $3 \times 10^8\text{m/s} = 3 \times 10^{14}\mu\text{m/s}$ dus $t=1.6 \times 10^{-13}\text{s}$

Big European Bubble Chamber BEBC



BEBC Bellenvat
Neutrino Interactie



precisie van de banen ~ 1mm
hele volume is gevoelig →
meten van impulsen
belangrijkste apparaat tot ~ 1985

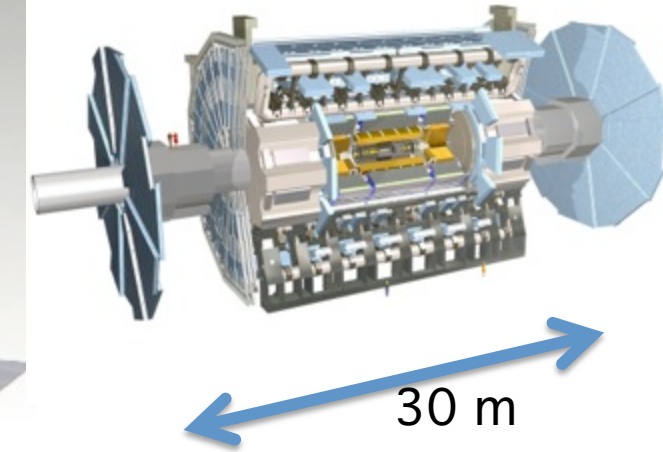
Hoe korter de golflengte, hoe groter de imager



microscoop
zichtbaar licht
fotons $\sim 1\text{eV}$
afmeting 30 cm
 μm objecten



TEM transmissie
electron microscoop
electron bundel $\sim 100\text{ keV}$
afmeting 3 m
 \AA objecten



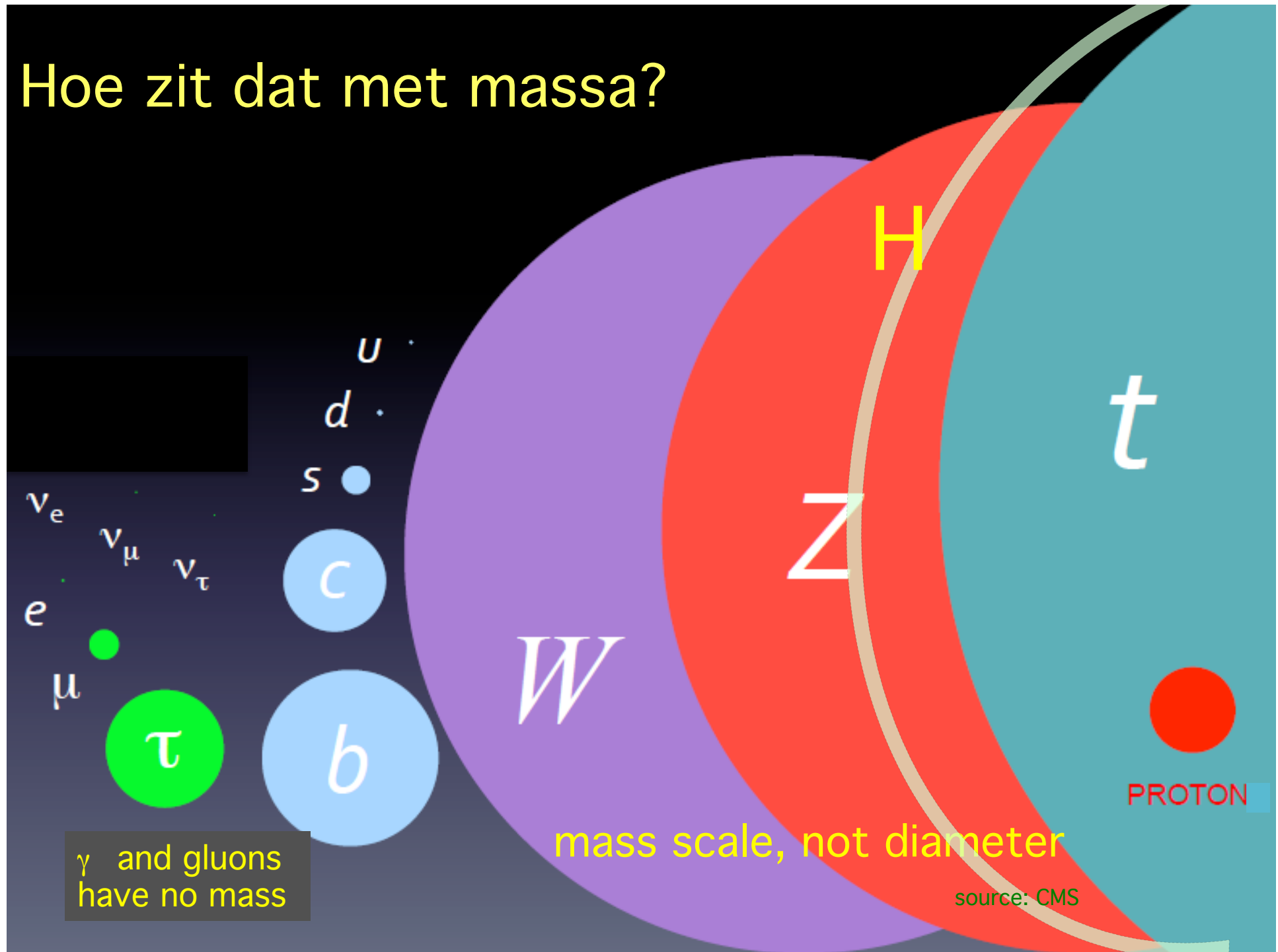
'attoscope' CERN
met protonen 7 TeV
30 m + 30 km ring
atto meter objecten

apparaten steeds groter,
deeltjes steeds 'kleiner' en 'zwaarder'

afmeting en massa onafhankelijk

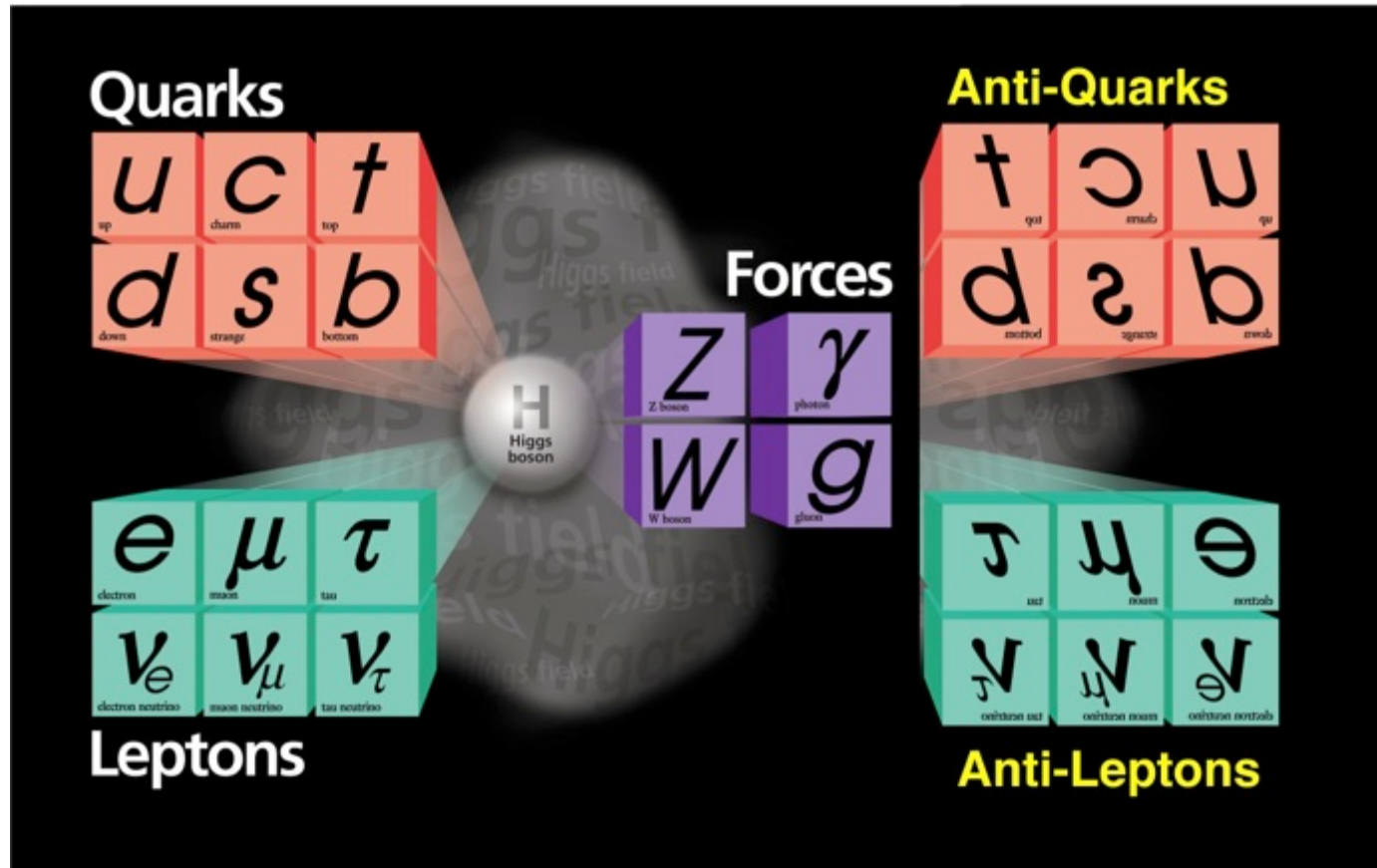


Hoe zit dat met massa?



Periodiek Systeem volgens “Standard Model”

Krachten en Fundamentele Deeltjes

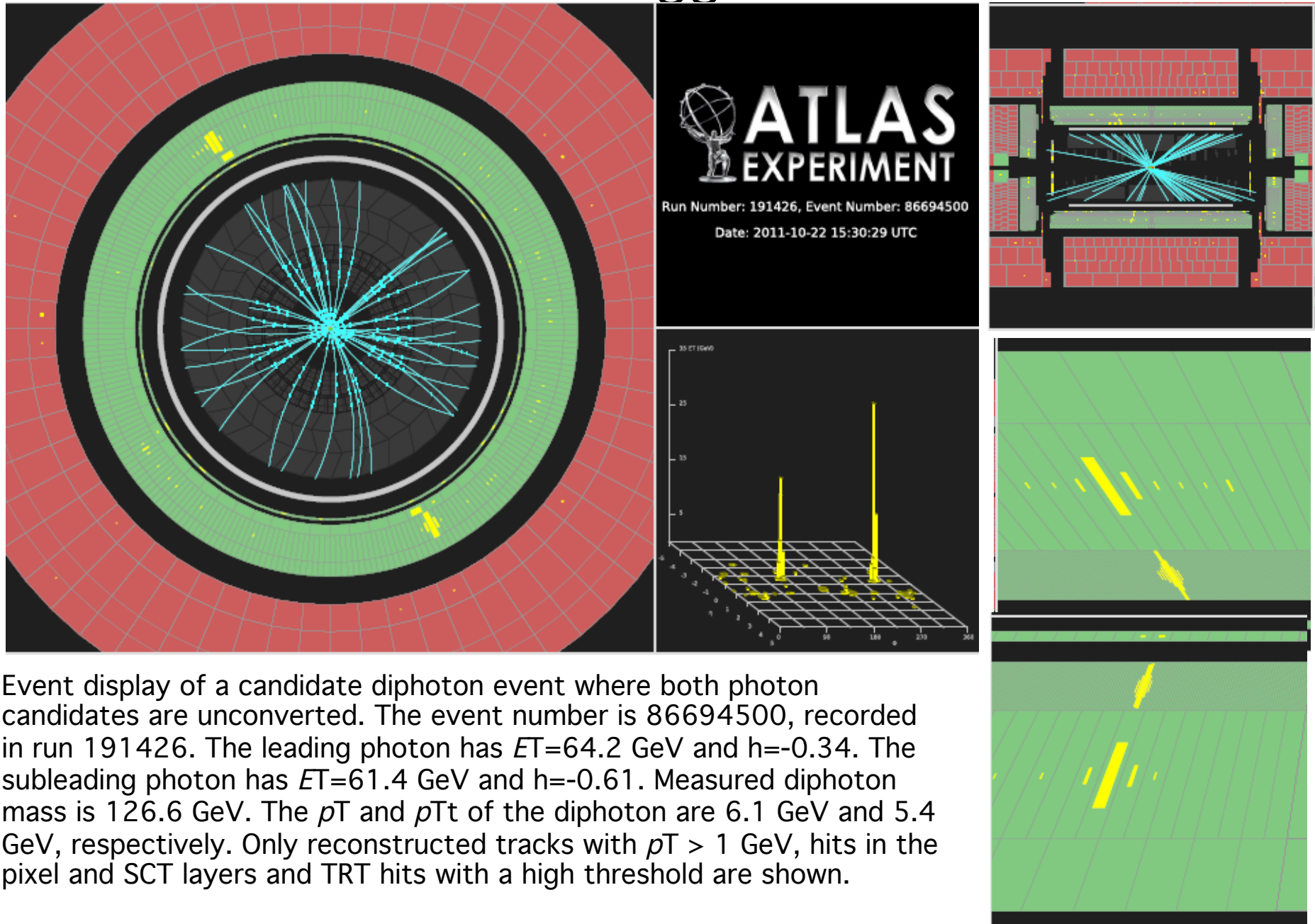


Er blijven veel vragen:

waarom nu juist 3 generaties
waar zijn de originele anti-deeltjes gebleven
waar past hierin de zwaartekracht
.....en nog veel meer

source: Fermilab

Atlas event Higgs --> twee-fotons



Hoe moet je je de ‘Big Bang’ voorstellen?

het is ondenkbaar, alle energie in het heelal was opgekropt in één punt

dan is opeens het transformeren begonnen na 10^{-xx} seconde begon massa te ontstaan

sindsdien is alles aan het uitzetten en afkoelen en wordt nog steeds energie omgezet in massa

bedenk wel dat de materie die wij zien, praktisch leeg is alleen de lichte elektronen bepalen grootte atomen ($\sim 0.1\text{nm}$)

de kernen ($\sim \text{fm}$) met massa zijn maar 0.0000000000001 % van het volume

Wat doen we eigenlijk?

1. Versneller:

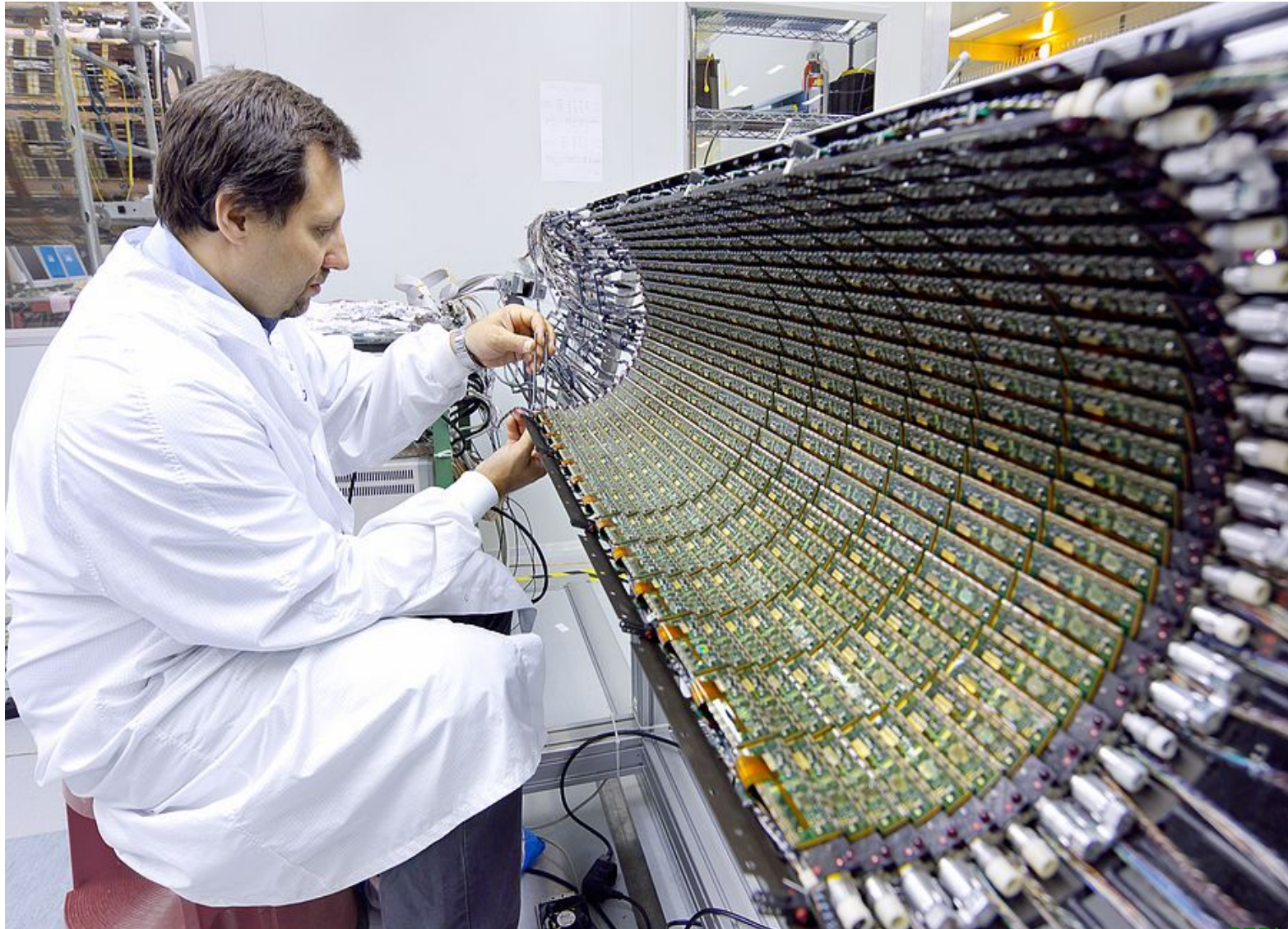
energie in zo klein mogelijk volume om
nieuw deeltje te scheppen

2. Metingen met detektoren om deze
deeltjes ook te kunnen bestuderen

direct om het interaktiepunt
wordt nu meestal silicium gebruikt



ATLAS binnenste Si pixel lagen

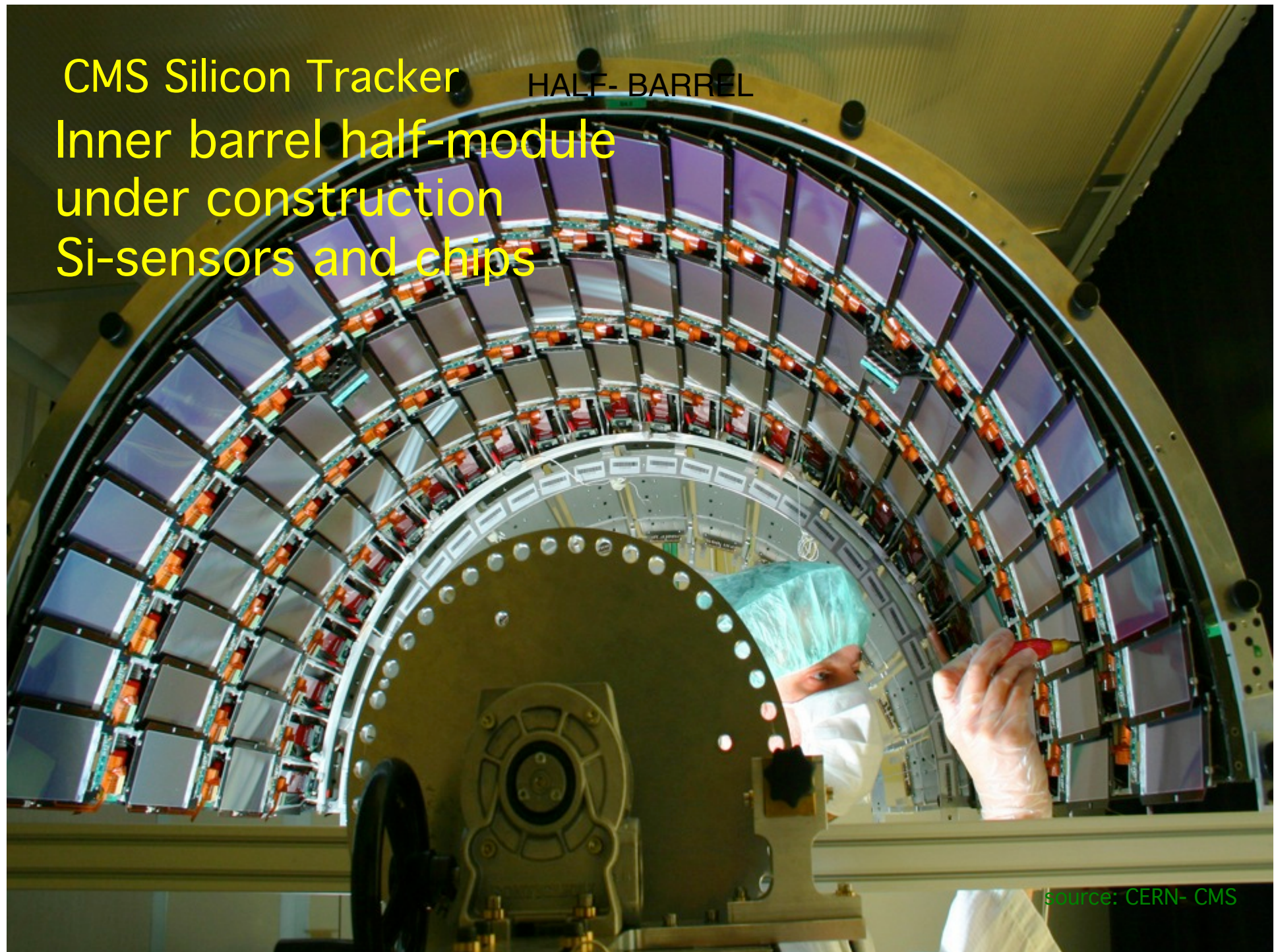


source: CERN- ATLAS

CMS Silicon Tracker

HALF- BARREL

Inner barrel half-module
under construction
Si-sensors and chips



source: CERN- CMS



Silicium is nu overal in de LHC detektors

Speciale Chips (ASICs) voor alle sub-systems

Si sensors in de binnenste schillen:

Pixels (2D) en Microstrip (1D) in meerdere lagen

Groot aantal sensor elementen: veel chips

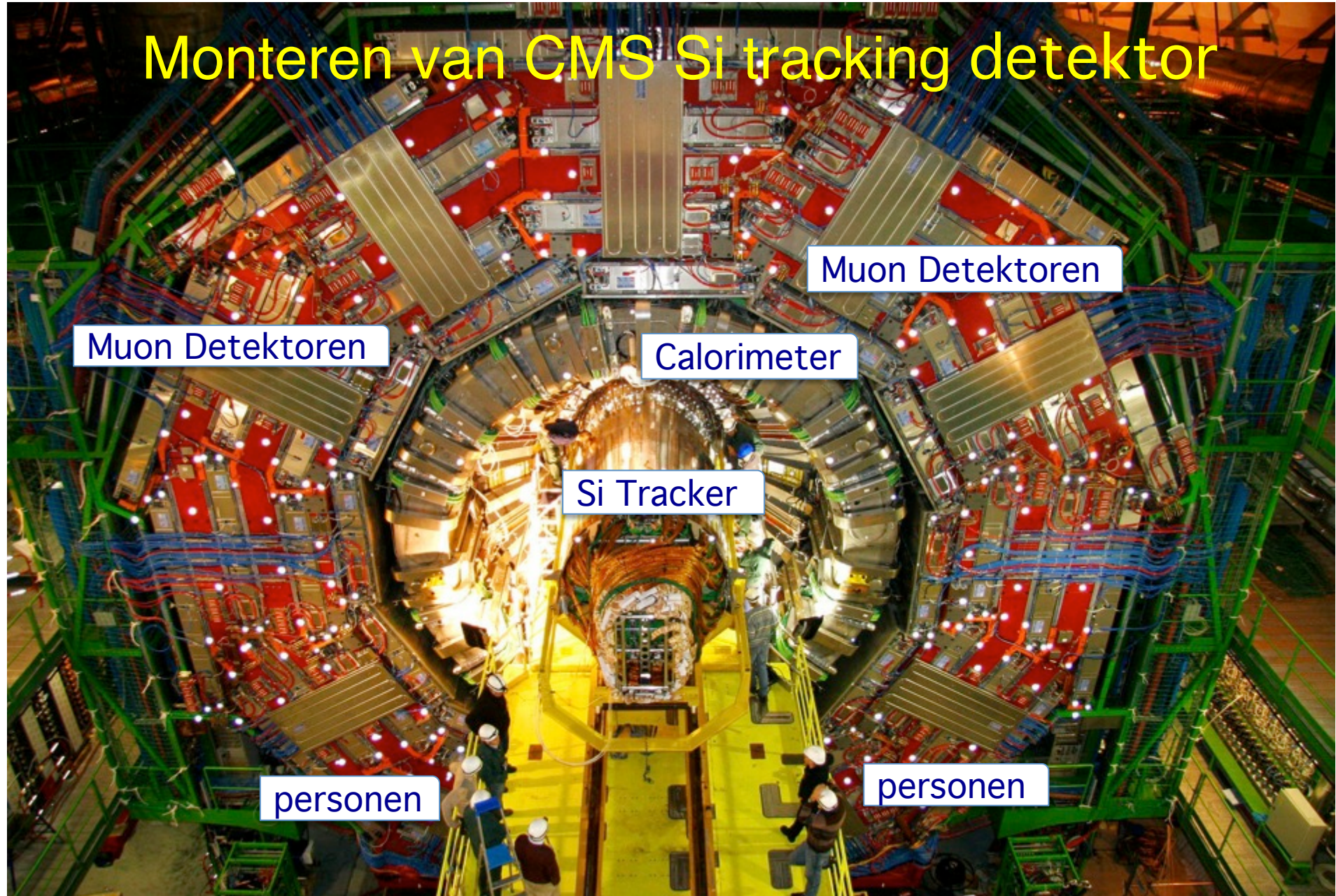
Teams ontwerpen onze ASICs zelf, niet in industrie

Ondanks ‘kleine’ aantallen, toch essentieel:

volume, compacte functies, locaal geheugen

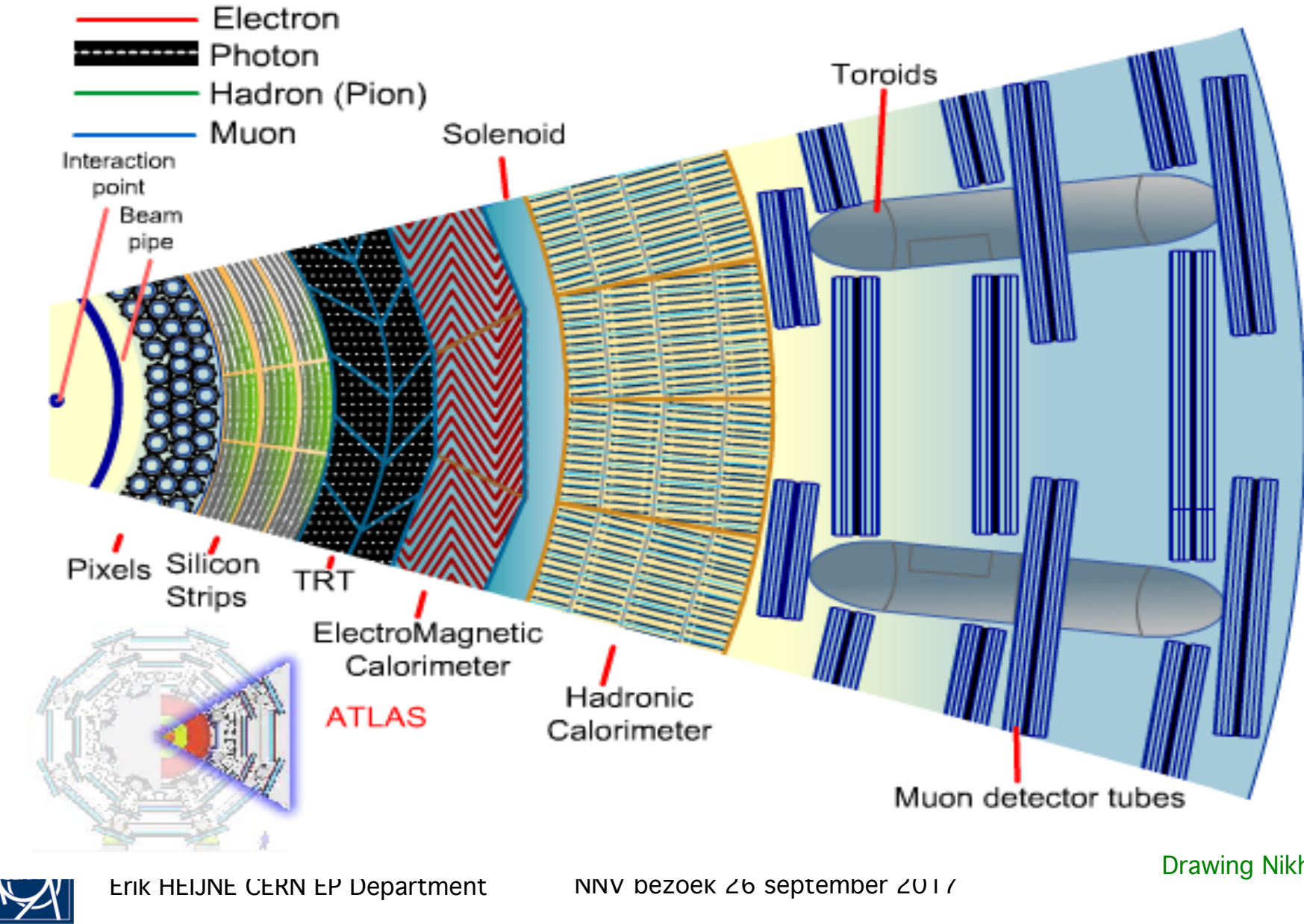
Simulaties moeten zorgen dat chip meteen goed is

Monteren van CMS Si tracking detektor

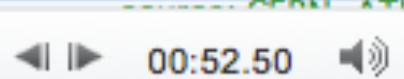
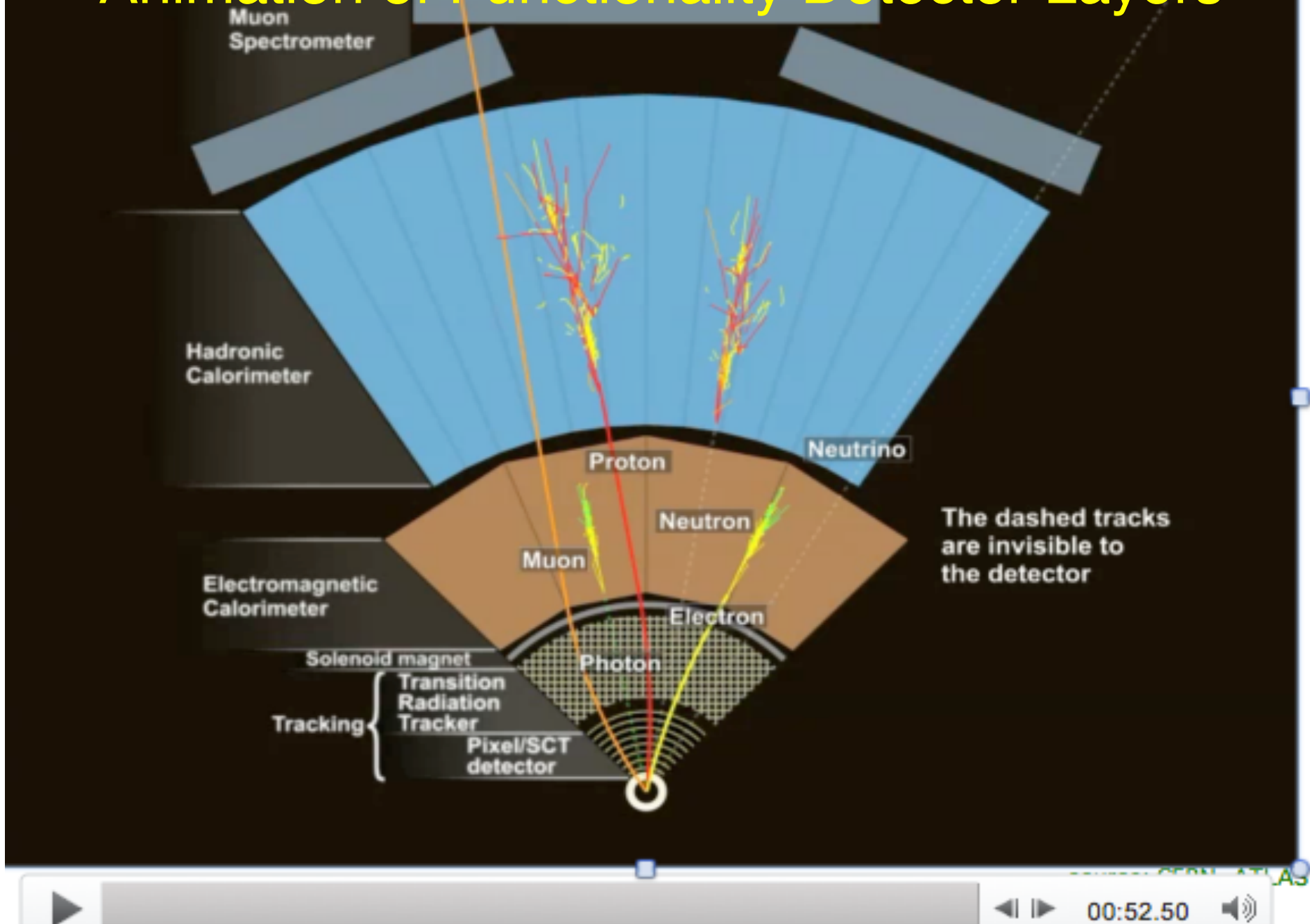


source: CERN- CMS

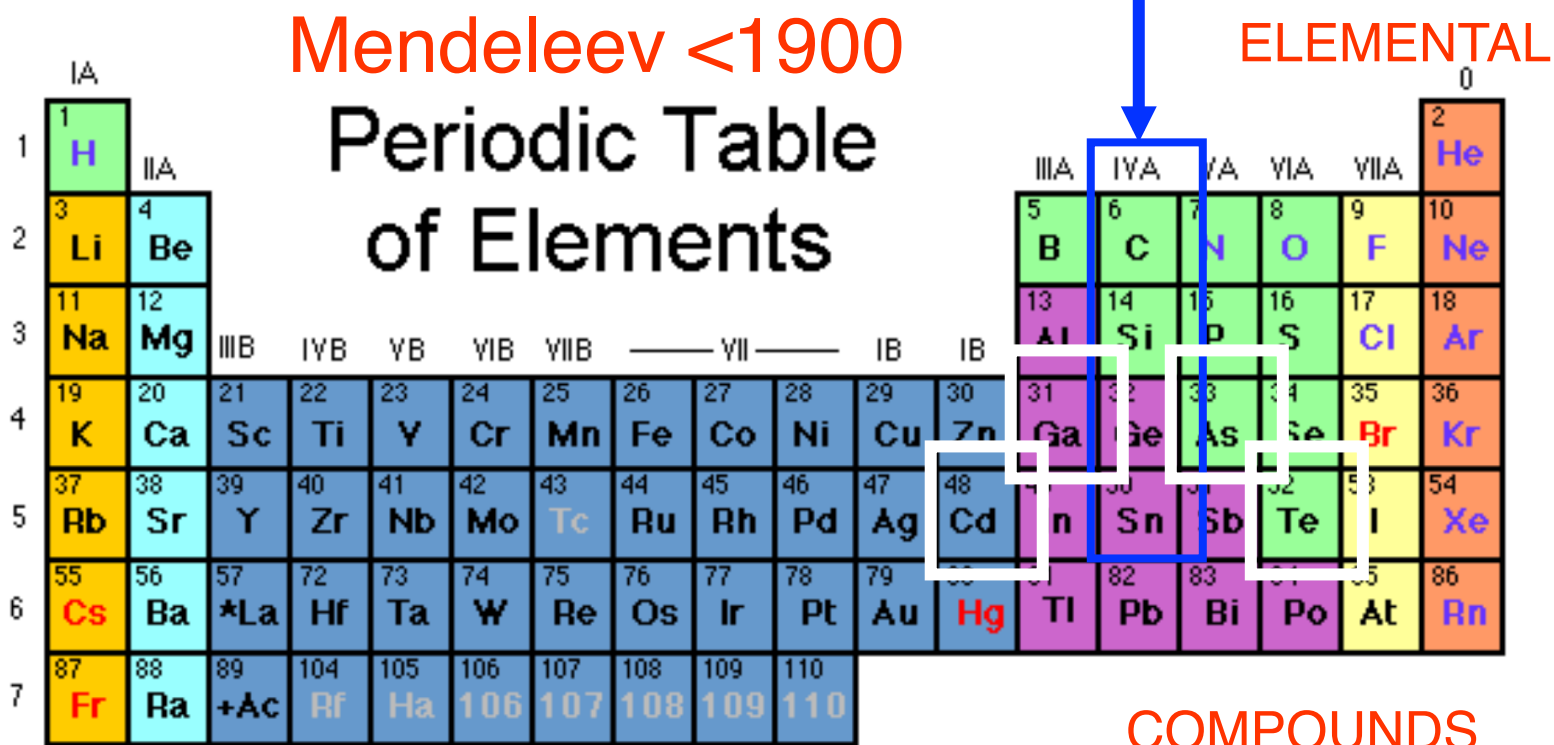
Detector Bestaat uit Schillen : e.g. ATLAS



Animation of Functionality Detector Layers



00:52.50



COMPOUNDS

* Lanthanide Series

58 Ce	59 Pr	60 Nd	61 Pm	62 Sm	63 Eu	64 Gd	65 Tb	66 Dy	67 Ho	68 Er	69 Tm	70 Yb	71 Lu
-------	-------	-------	-------	-------	-------	-------	-------	-------	-------	-------	-------	-------	-------

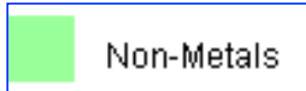
+ Actinide Series

90 Th	91 Pa	92 U	93 Np	94 Pu	95 Am	96 Cm	97 Bk	98 Cf	99 Es	100 Fm	101 Md	102 No	103 Lr
-------	-------	------	-------	-------	-------	-------	-------	-------	-------	--------	--------	--------	--------

also:
 HgI_2
(AgCl)
etc.

Legend - click to find out more...

H - gas



Non-Metals

Li - solid



Transition Metals

Br - liquid



Rare Earth Metals

Tc - synthetic



Halogens



Alkali Metals



Alkali Earth Metals



Other Metals



Inert Elements

Isolatoren: alle electronen gebonden

→ keramische materialen, glas, ...

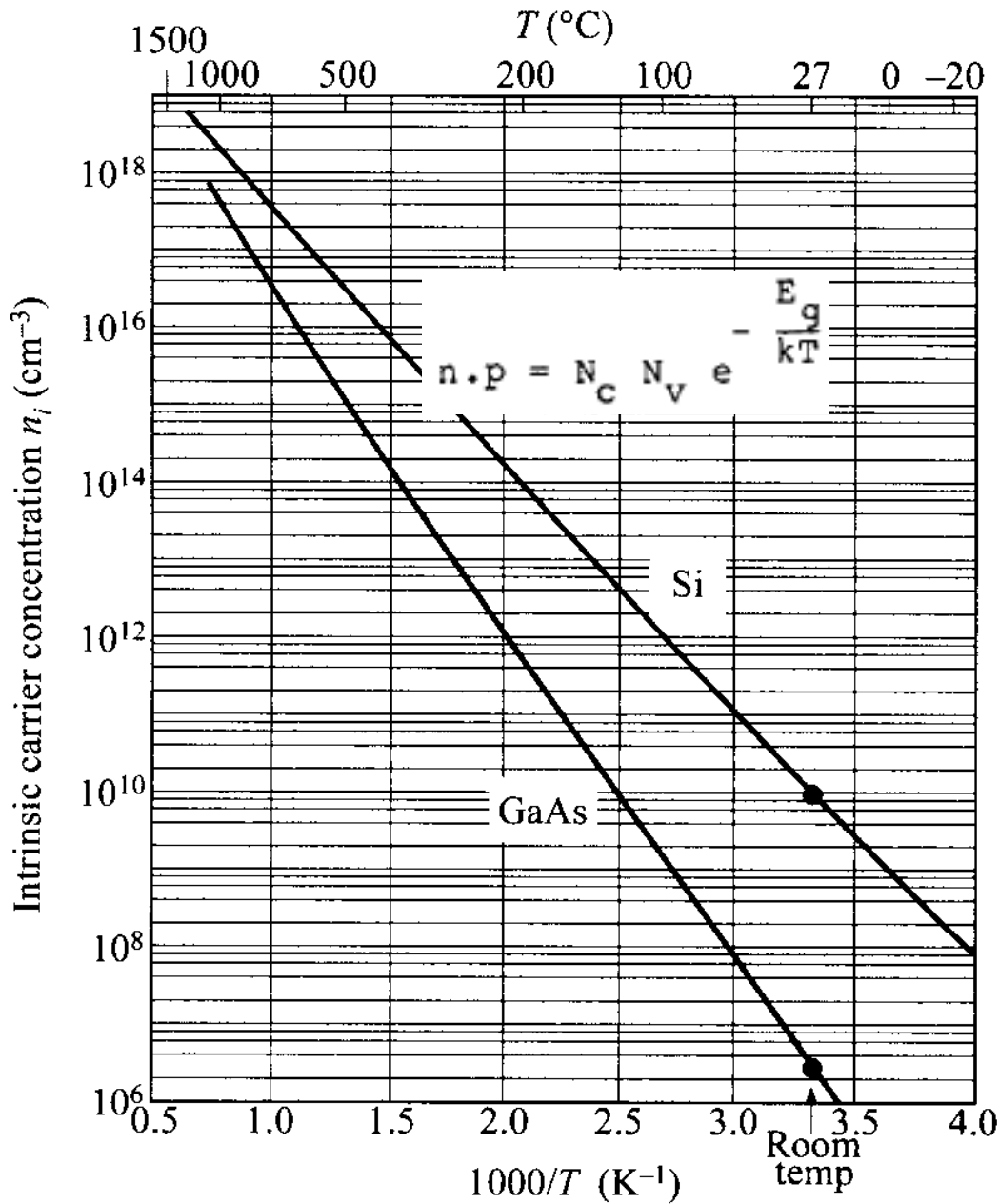
Geleiders: vol vrije electronen

→ metalen: koper, aluminium, ijzer, ...

**Halfgeleiders:
minder of meer electronen en ‘gaten’**

→ silicium, germanium, ...

Variatie concentratie van ladingsdragers n_i



$$n_i^2 = n \cdot p = \text{konstant}$$

n elektronen

p gaten

hangt af van

bandgap en temperatuur

bij kamertemp

$$\boxed{\text{Si}} \quad n_i^2 = 2.6 \times 10^{20} \text{ cm}^{-3}$$

6-8 ordes v grootte

$$\text{met } n = 10^{13} \text{ cm}^{-3}$$

gaten slechts

$$p = 10^7 \text{ cm}^{-3}$$

$$\boxed{\text{GaAs}} \quad n_i^2 = 1.2 \times 10^{14} \text{ cm}^{-3}$$

volgens Sze
Physics of semiconductor devices
Wiley

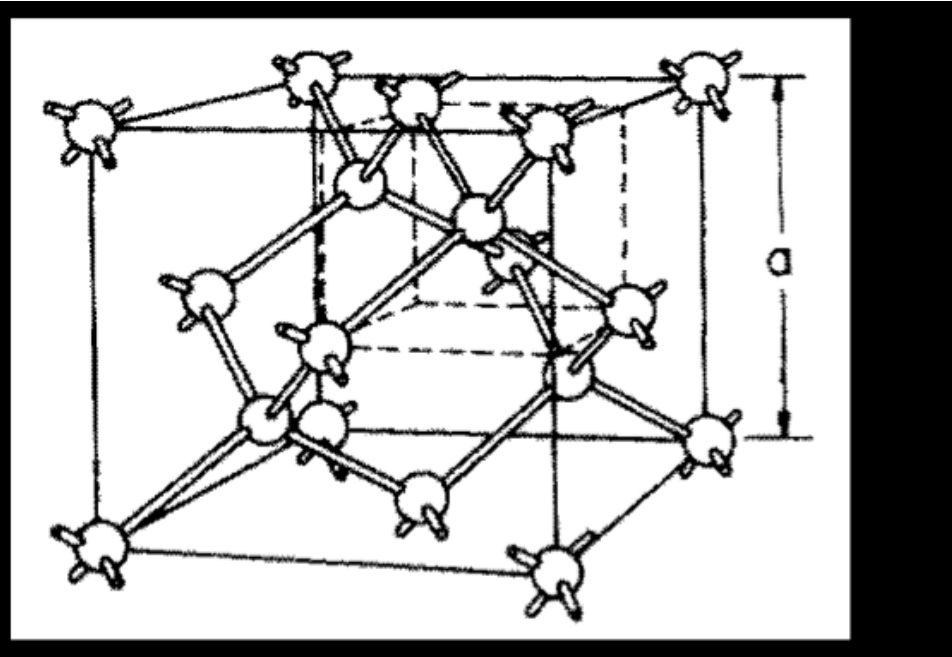
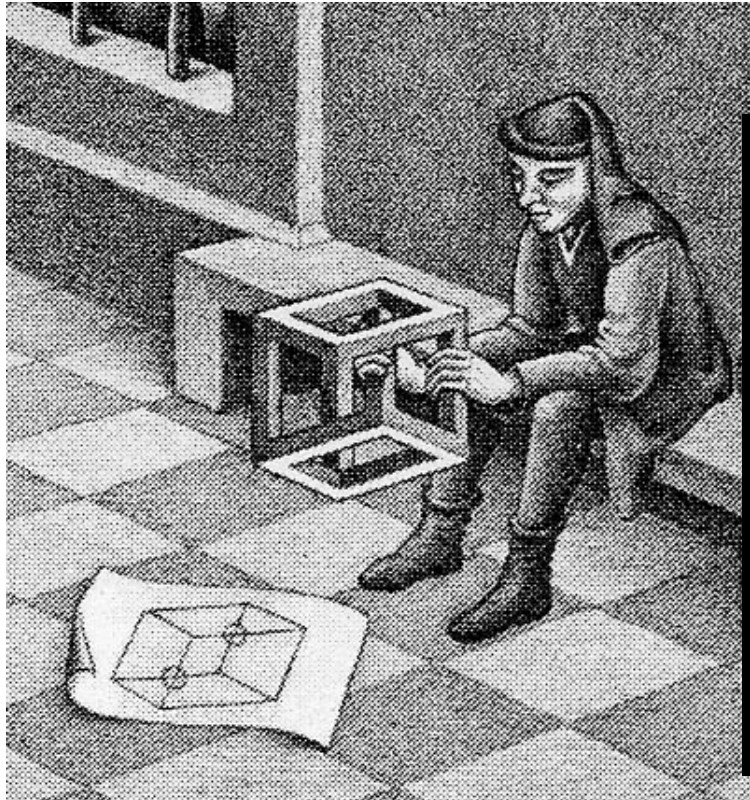
Elektronica: spelen met elektronen

vanaf ~1900 in vakuum buizen

in 1948 halfgeleider transistor

eerst germanium, later silicium...

Eénkristal van halfgeleider - silicium



Silicium

Imagination and Innovation

- gevoelig voor zichtbaar licht (CCD, CMOS kamera)
- ook voor allerlei andere straling (>1.12 eV bandgap)
lage Z, niet efficient voor $\gamma > 10\text{keV}$
- regelbare geleiding over 10 ordes ($\times 10^{10}$)
- oppervlakte-oxide heeft een hoge impedantie/isolatie

~1955 Bell, 1959 Planair(Hoerni-Fairchild), 1970 LOCOS(Kooi,Philips)



Erik HEIJNE CERN EP Department

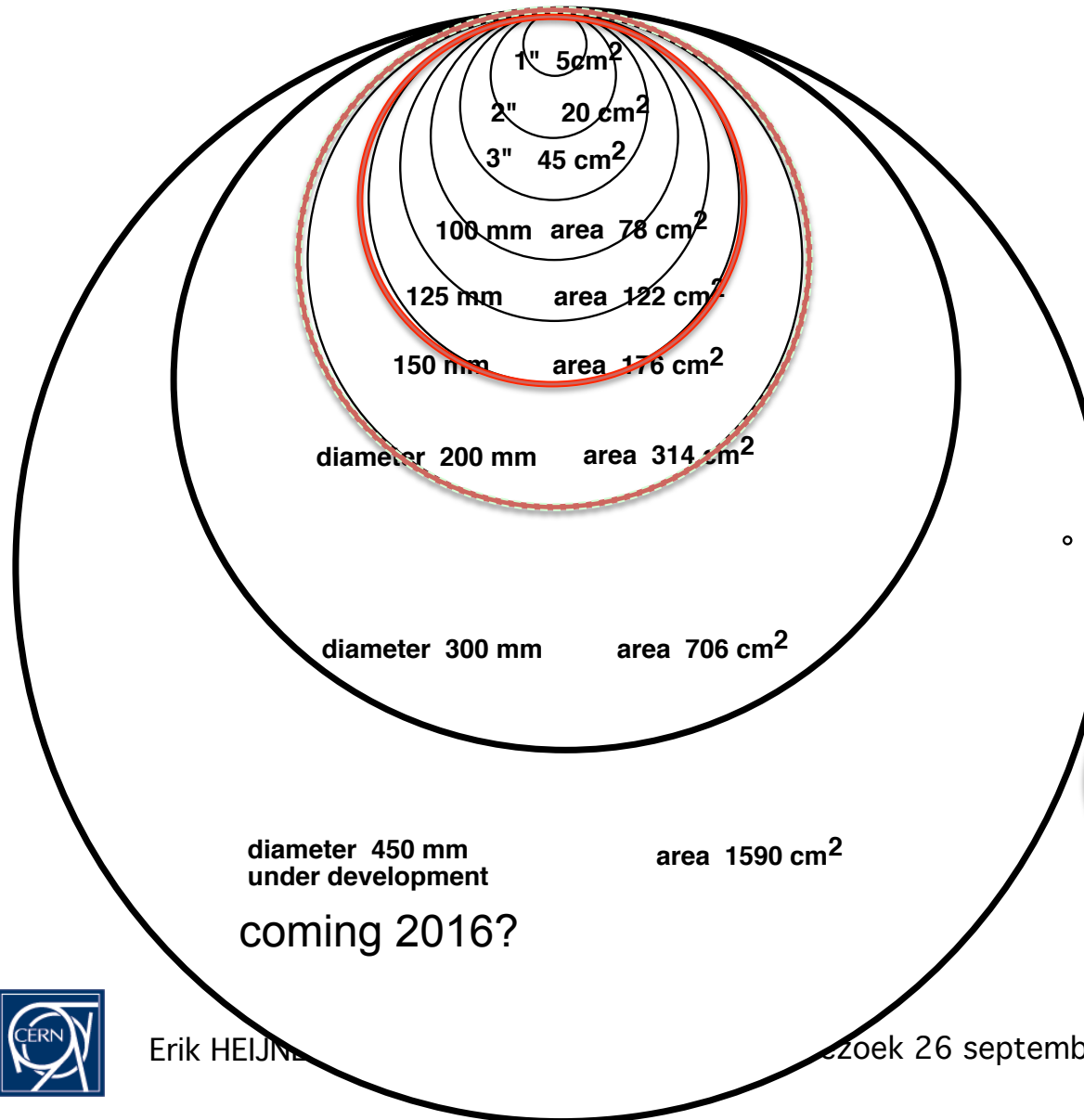
NNV bezoek 2

Silicon single crystal growing

1955-2015

Wafer sizes

Increase of wafer diameter 3/4" - 450mm



CZ Crystal Pullers
(Mitsubishi Materials Silicon)



Erik HEIJNE

zoek 26 september

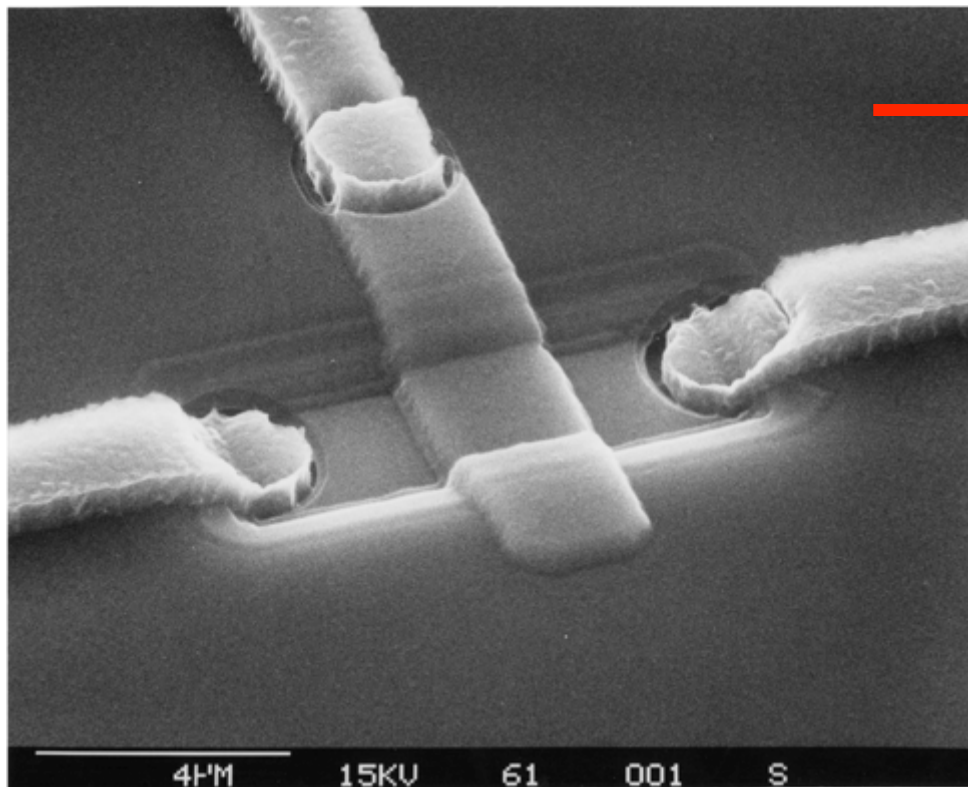
MOS Technologie METAL – OXIDE – SILICON

de fundamentele componenten:

- * MOS condensator CCD imager matrix
 'beeldopnemer'
- * p – n diode CMOS imager matrix
- * diverse transistors

weerstanden met beperkte waardes in dunne metaal-lagen

Integrated electronics is key: silicon MOS transistor



2 μ m TECHNOLOGY

1985

HEP was 2 generations behind industry

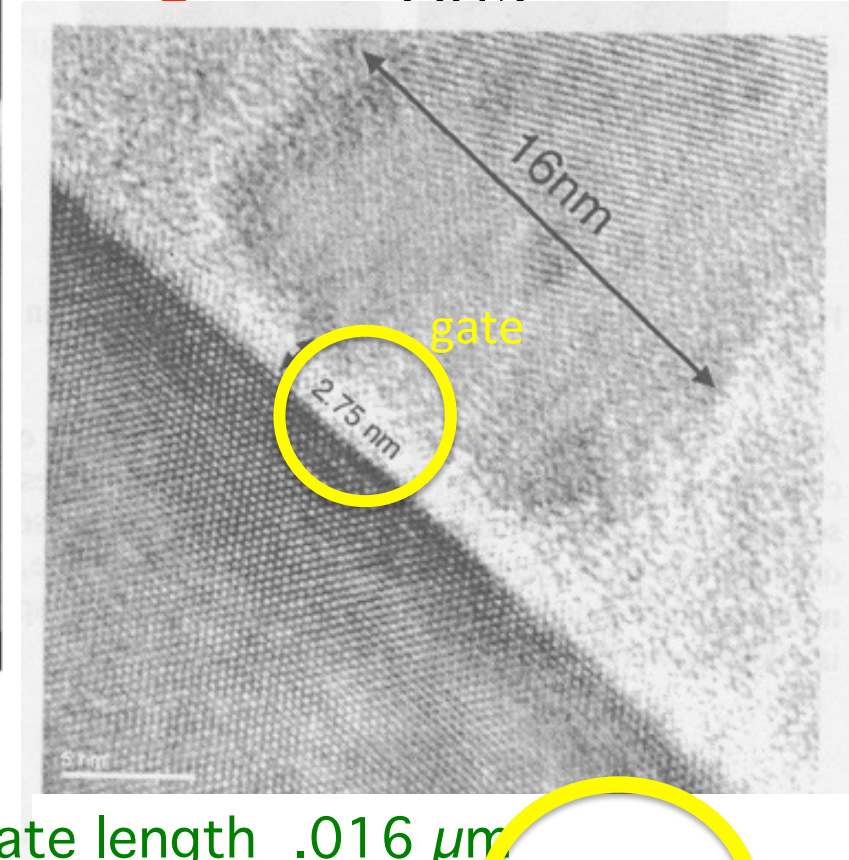


Erik HEIJNE CERN EP Department

NNV bezoek 26 september 2017

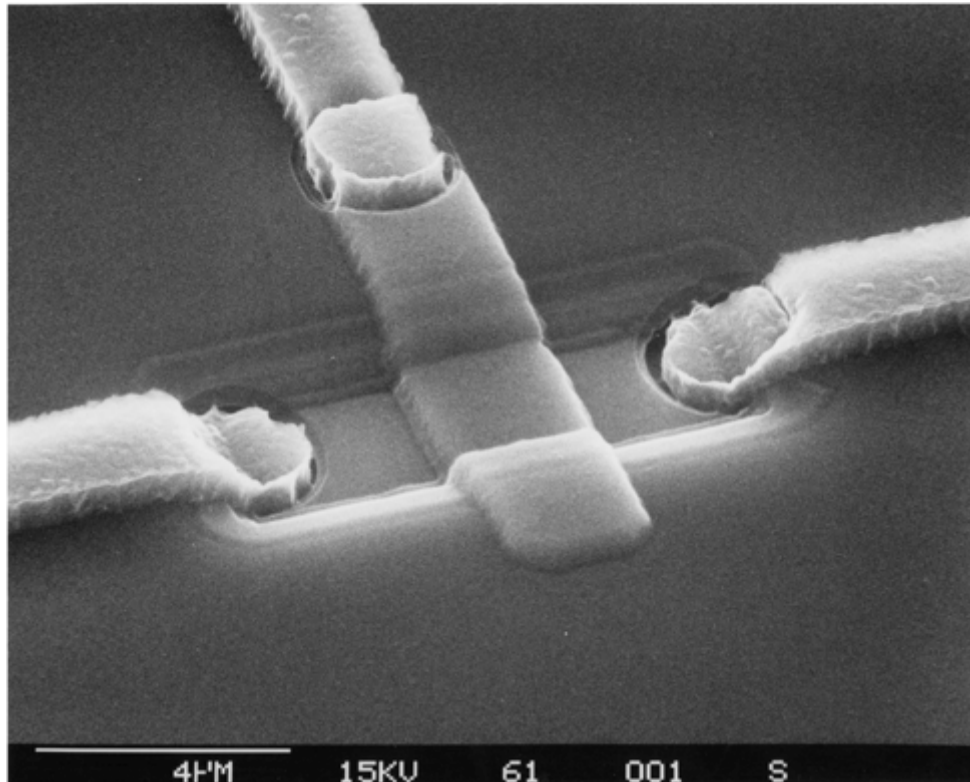
continuous scaling/miniatuerization

2015



gate length .016 μ m
SiO₂ gate thickness 2.75 nm

SILICON MOS TRANSISTOR



CORRECT SCALE

2 μ m TECHNOLOGY 1982

SiO_2 gate 2.75 nm

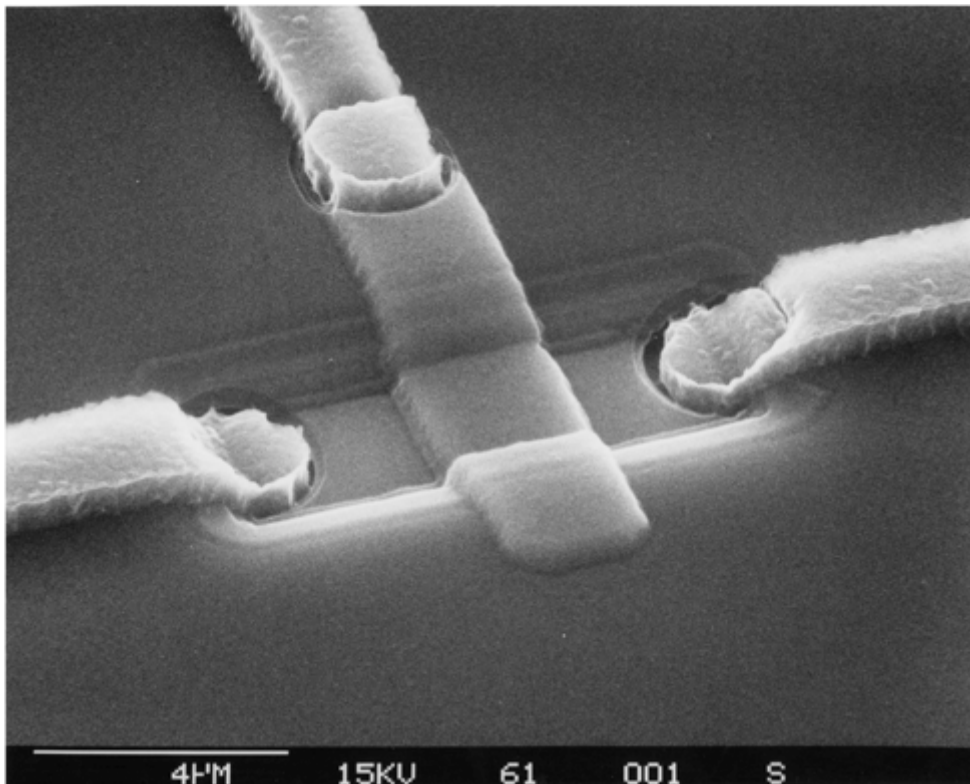
0.016 μ m 2007



Erik HEIJNE CERN EP Department

NNV bezoek 26 september 2017

Integrated electronics is key: silicon MOS transistor



2 μm TECHNOLOGY

1985

HEP was 2 generations behind industry

continuous scaling/miniatrization

2015

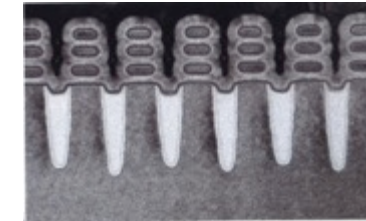


same scale

gate length .016 μm
SiO₂ gate thickness 2.75 nm
thin gate usually radhard



2017 development at IBM



gate-all-around
source IBM

not same scale

0.005 μm

2017

now HEP is 8 generations behind



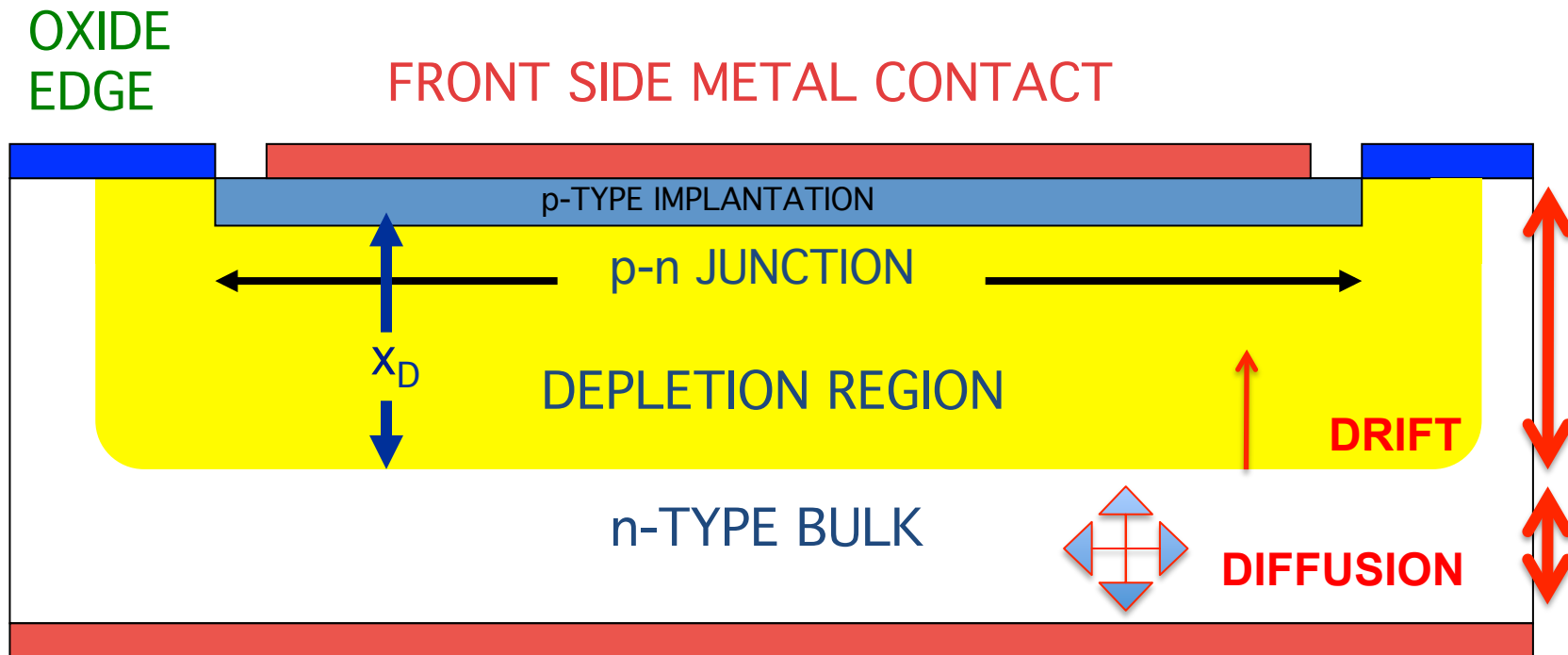
gelijkrichtende diode is
eenvoudigste component in Si

kan licht en ioniserende deeltjes waarnemen

signaal van elektronen en gaten



SCHEMATIC of DIODE



REAR SIDE METAL CONTACT

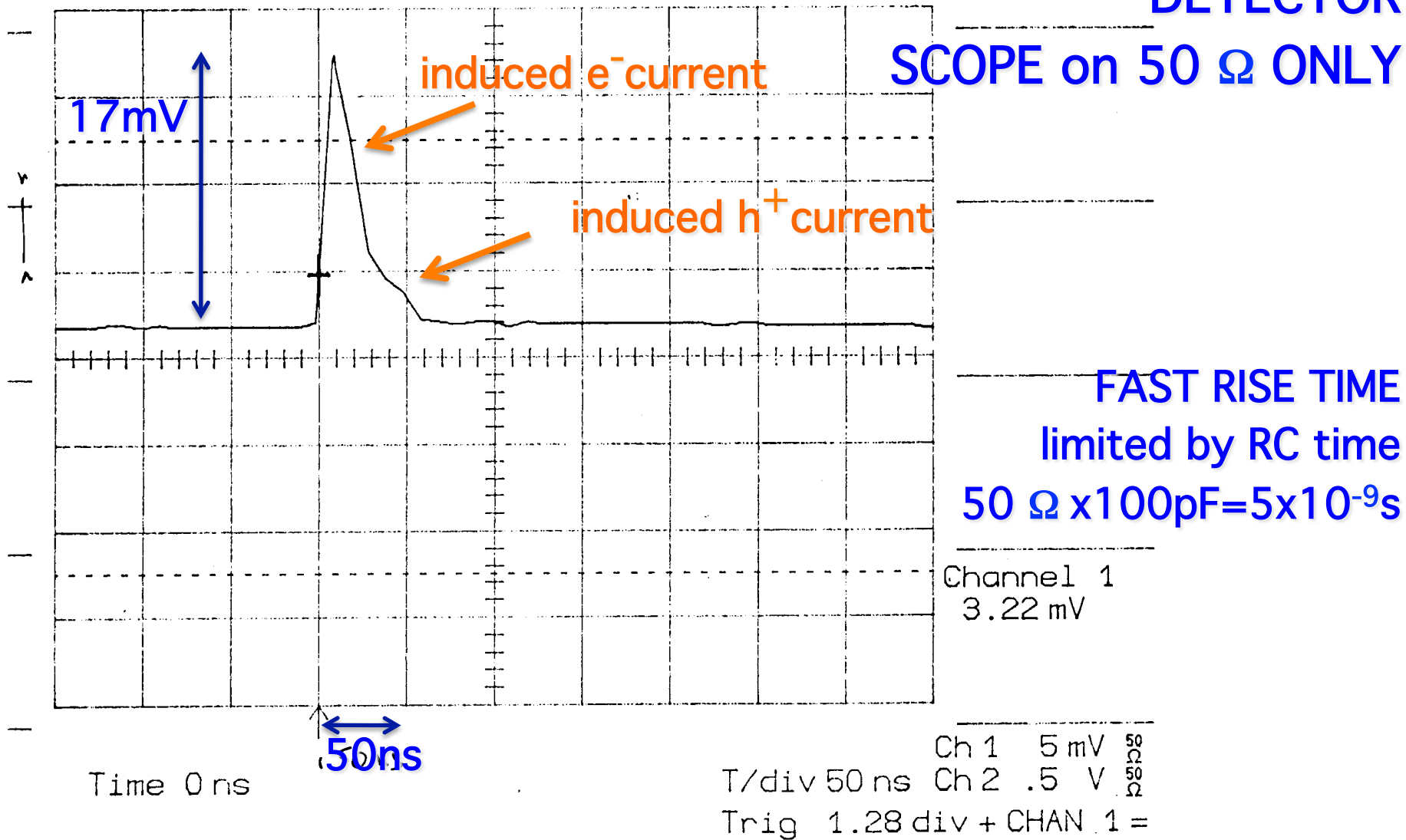
$$x_D = \sqrt{\frac{2 \epsilon}{q n} (V_0 + V_B)} = \sqrt{2\epsilon\mu_e\rho (V_0 + V_B)}$$

x_D CAN BE LARGE, BECAUSE HIGH RESISTIVITY of BULK Si



Si SIGNAL SPEED

SIGNAL CURRENT from Pb ION in $200\mu\text{m}$ Si DETECTOR



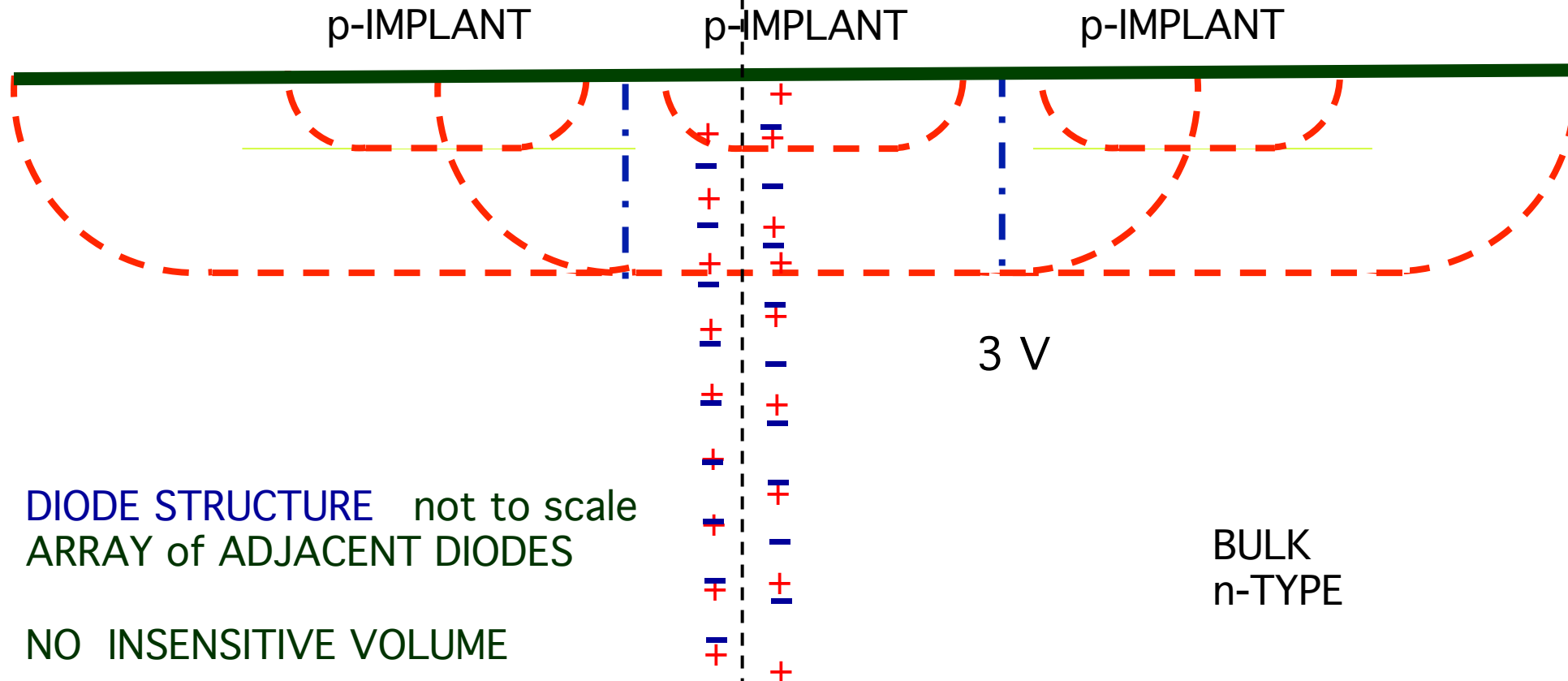
diode-oppervlak kan worden gesegmenteerd

allerlei patronen mogelijk:
microstrips
pixels

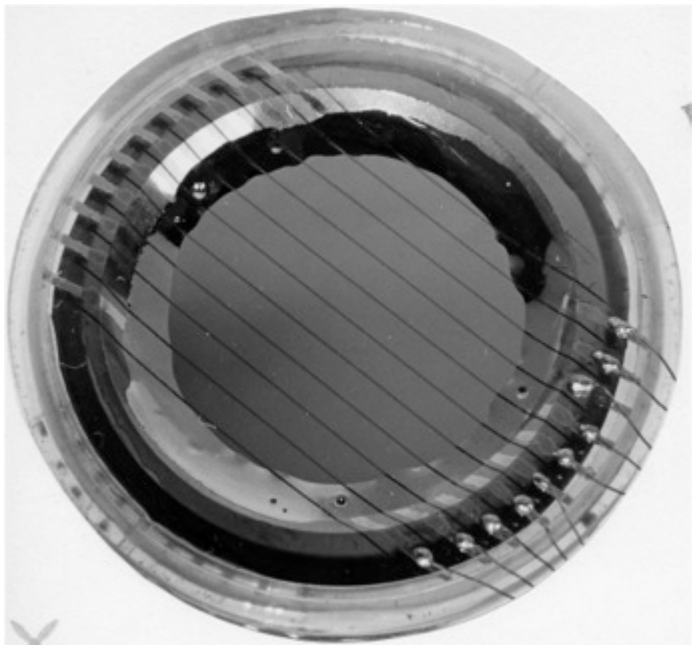


SILICON DIODE DETECTORS

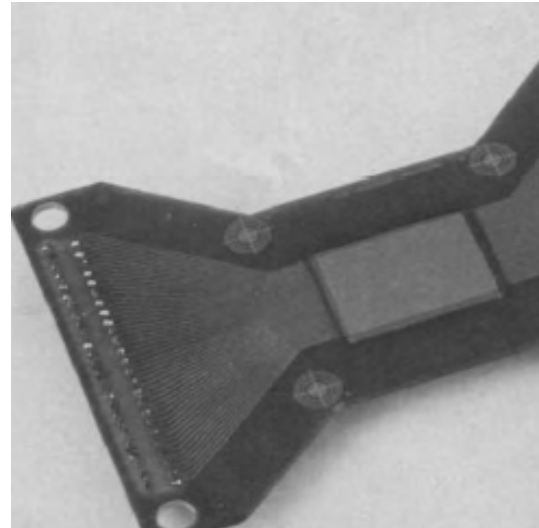
IONIZING PARTICLE
LOCALIZED SIGNAL



DIODE SEGMENTATION

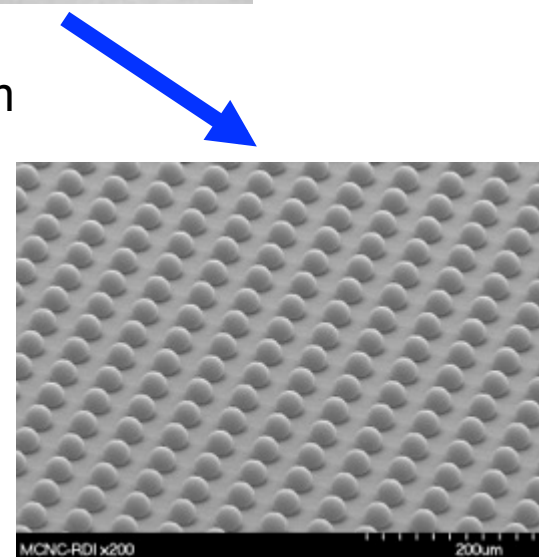


~1965
PHILIPS
 $100 \times 1370\text{um} \times 1370\text{um}$

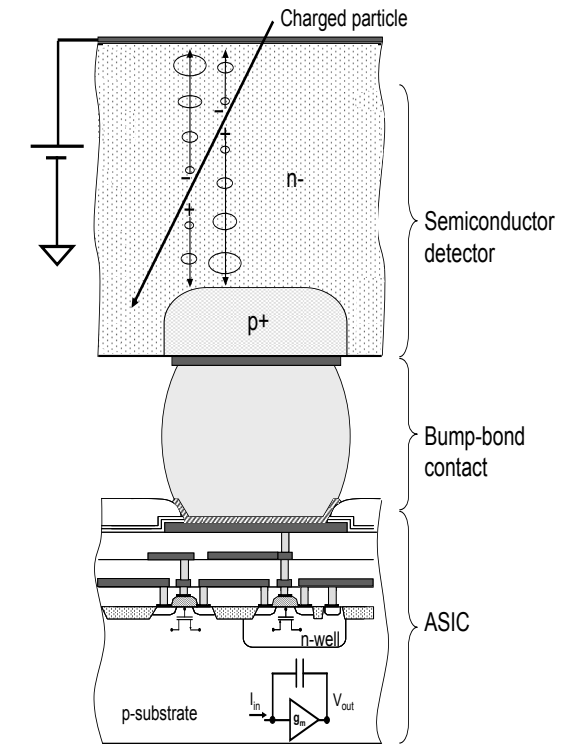
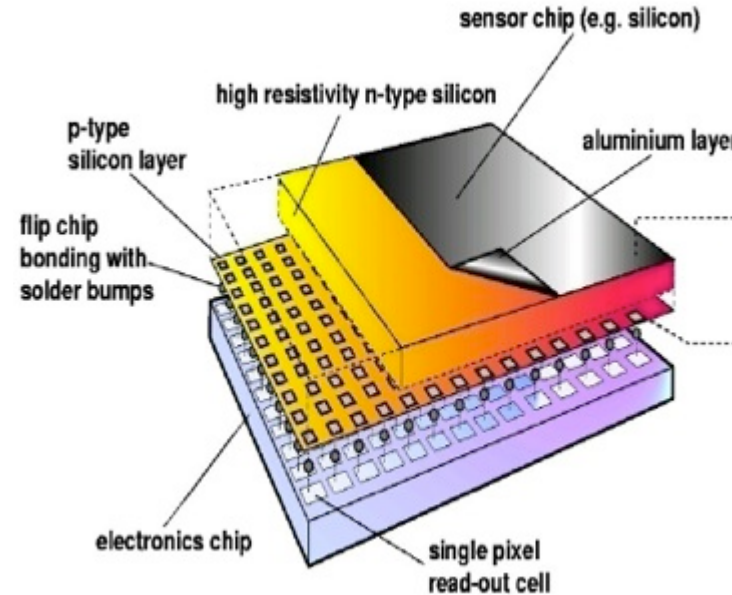


1980
CERN / ENERTEC
 $100 \times 4000\text{um} \times 200\text{um}$

~2000
CERN / MEDIPIX
 $65000 \times 55\text{um} \times 55\text{um}$



Hybrid Silicon Pixel Detectors

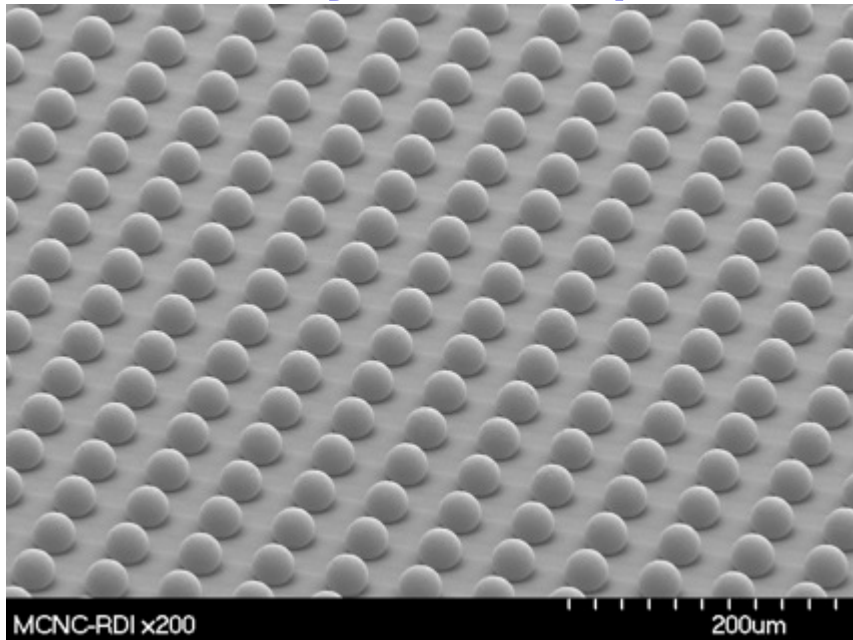


Standard CMOS can be used allowing on-pixel signal processing

Sensor material can be changed (Si, GaAs, CdTe..)



Hybride pixel detektor Medipix2

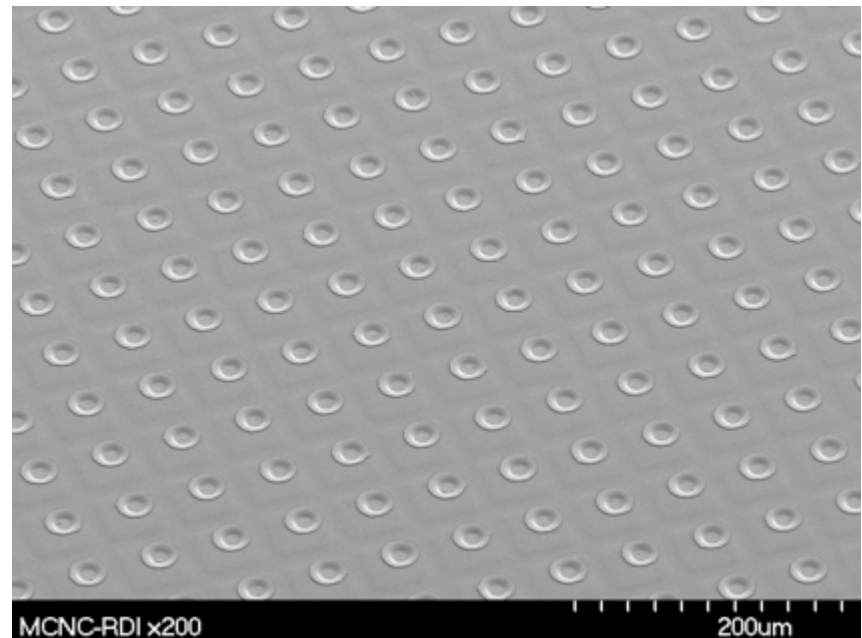


MCNC-RDI x200

MEDIPIX2 CERN 2001
CAMPBELL & LLOPART
256 kolommen x 256 rijen
pixel 55 μ m x 55 μ m

SEM fotos gemaakt door
MCNC-RDI, DURHAM NC - USA

PITCH 55 μ m



MCNC-RDI x200

200 μ m



Erik HEIJNE CERN EP Department

NNV bezoek 26 september 2017

Een halfgeleider-volume/diode als detektor

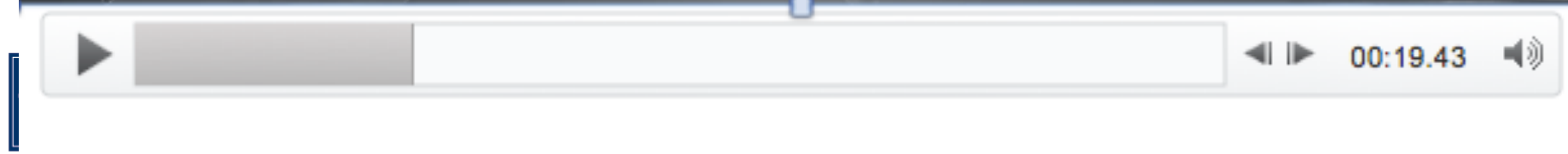
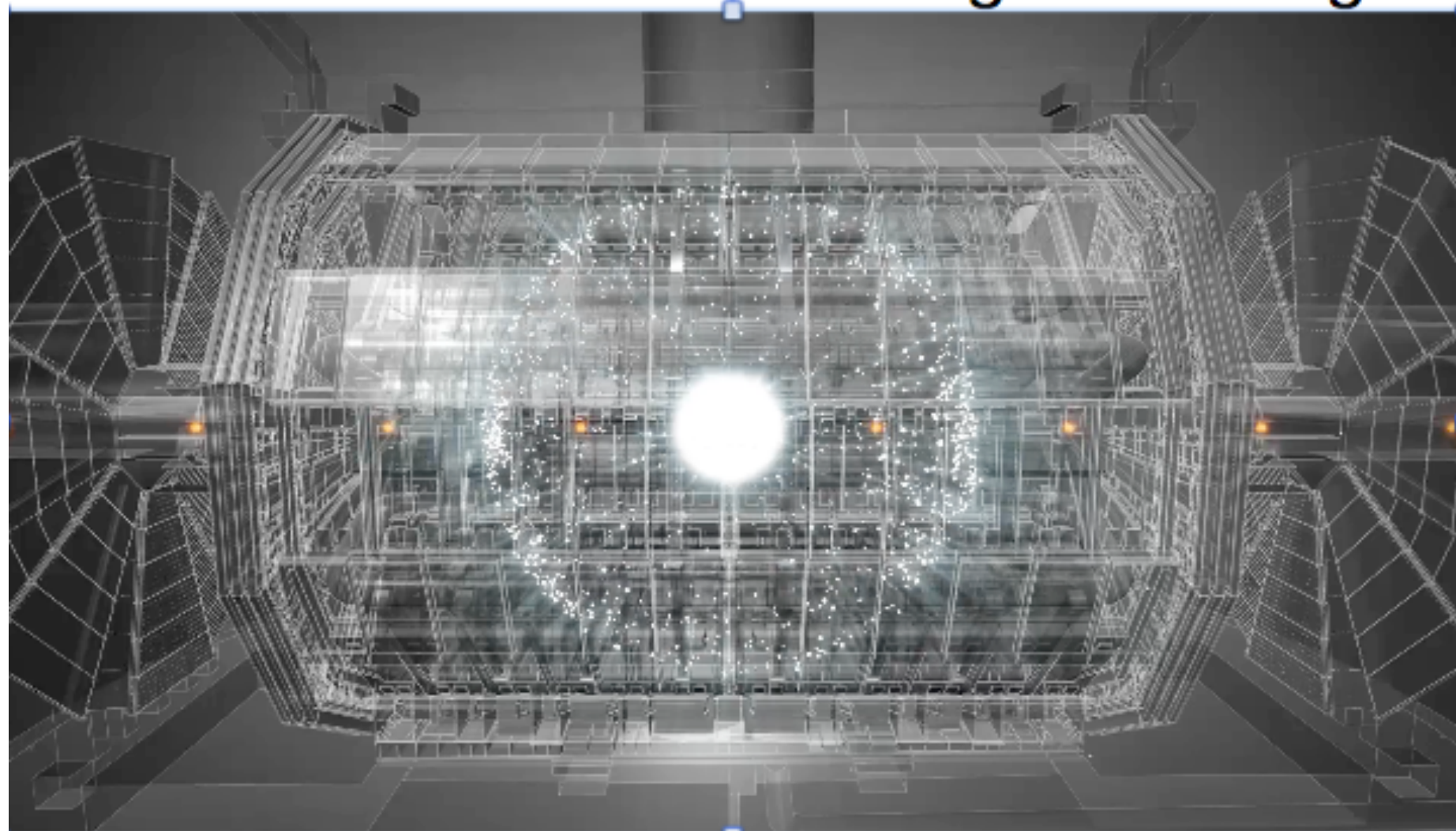
Een ioniserend deeltje verliest energie, die maakt elektronen ‘e’/ gaten ‘h’ los zodat er een signaal kan worden geïnduceerd op elektrodes aan de buitenkant van de diode

Dankzij een aangelegd elektrisch veld vliegen vrijgemaakte ladingen met hoge snelheid

zie volgende snelheids grafiek voor e en h

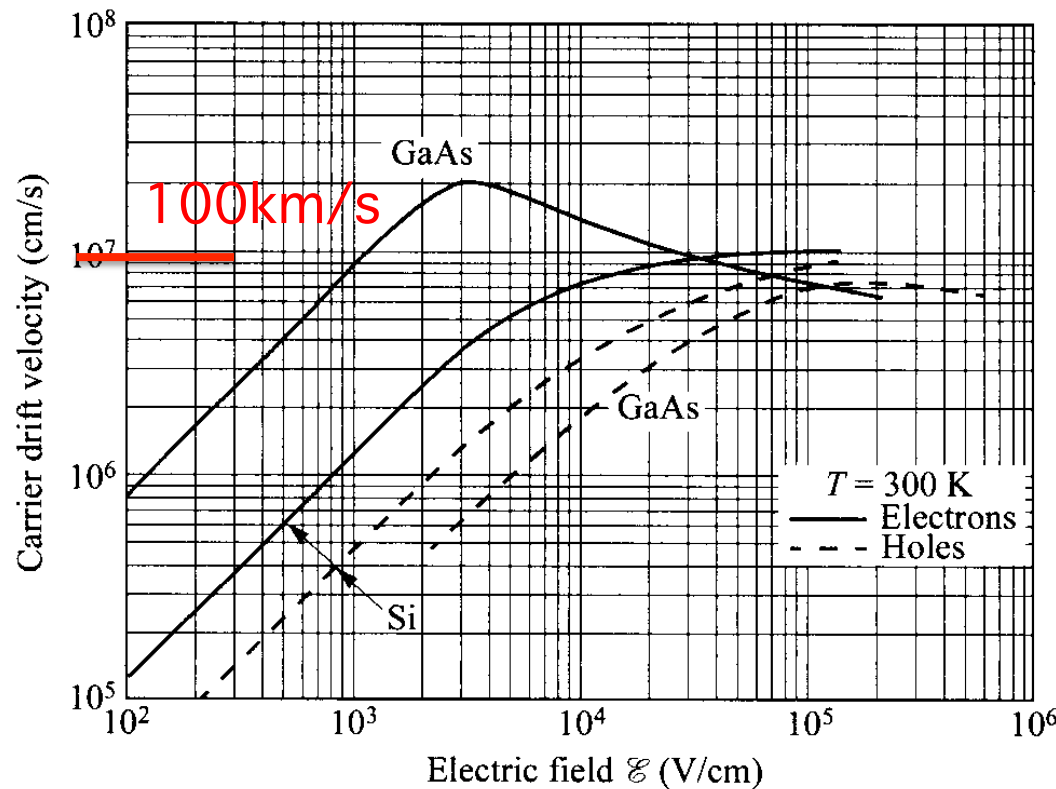


Animatie van Bunch Crossings en Timing

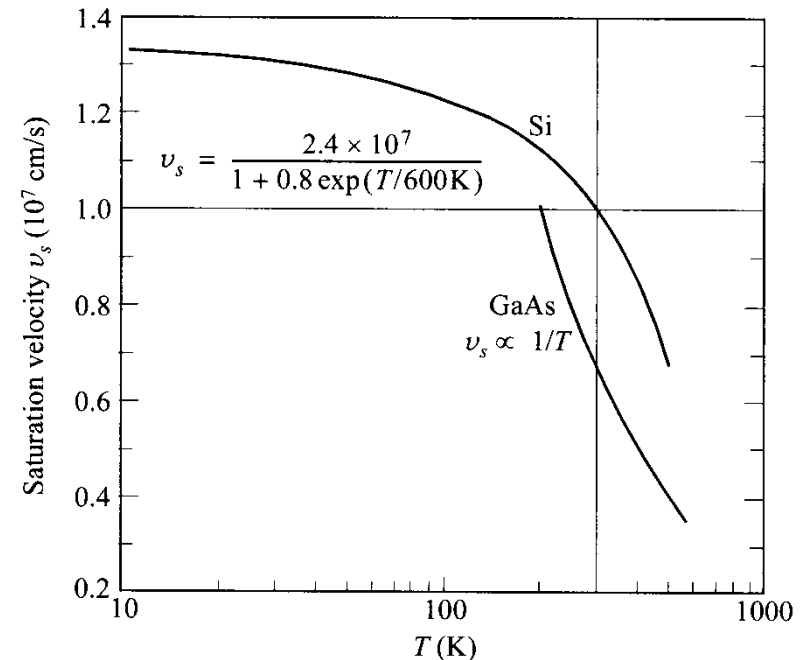


CARRIER TRANSPORT in Si and GaAs

CARRIER DRIFT VELOCITY vs FIELD



SATURATION vs TEMP



MOBILITY is a function of doping, temp, field..

SEMICONDUCTOR DETECTORS ARE INHERENTLY FAST : 5 - 20 ns

360 000 km/h

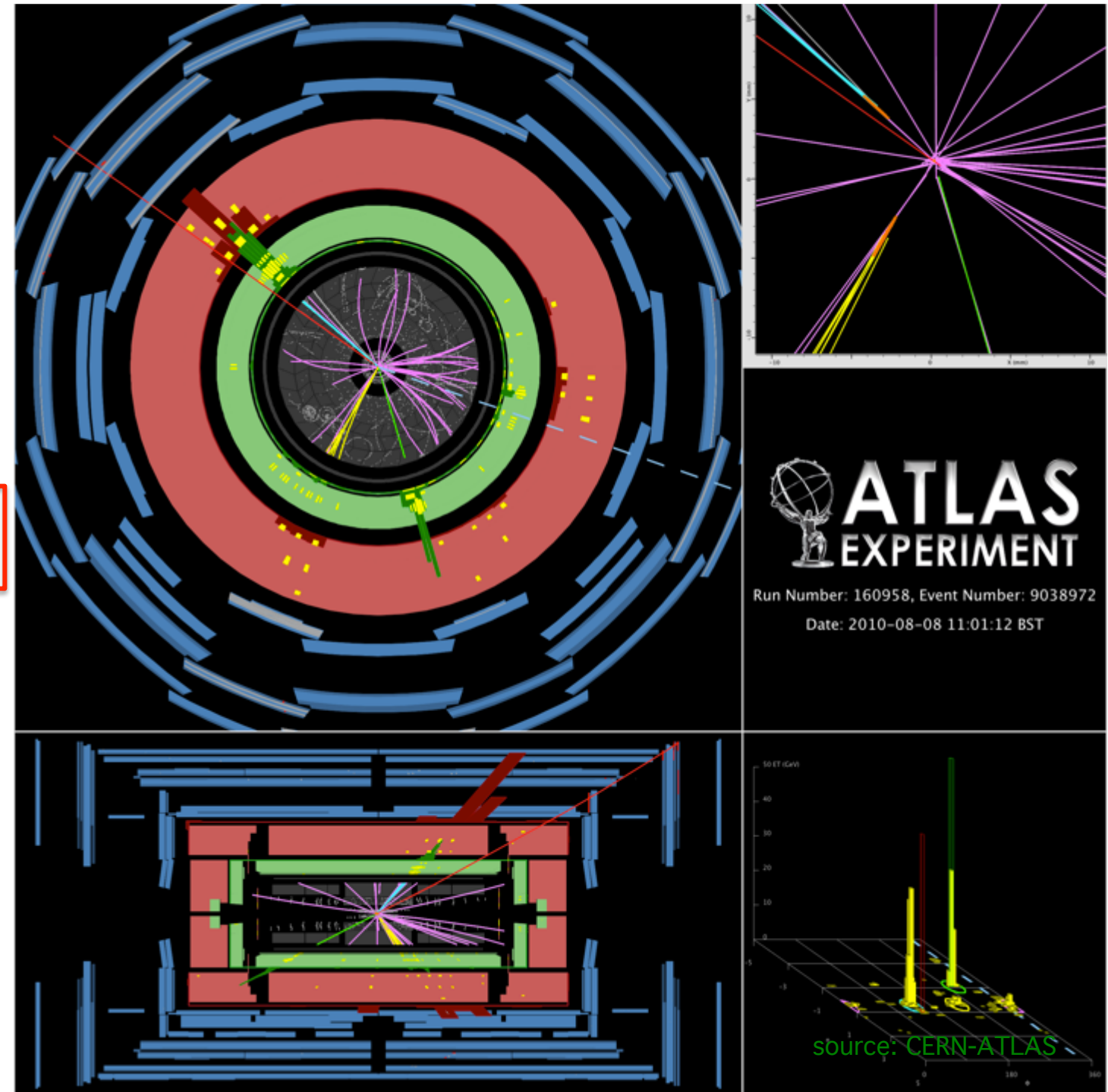
Imaging Now
All Electronic
with 3-D
Reconstruction

Many Tracks
and 2 “Jets”

40 million / sec

Secondary
Vertex:
a short-lifetime
particle is a
messenger for
something new

see blow-up

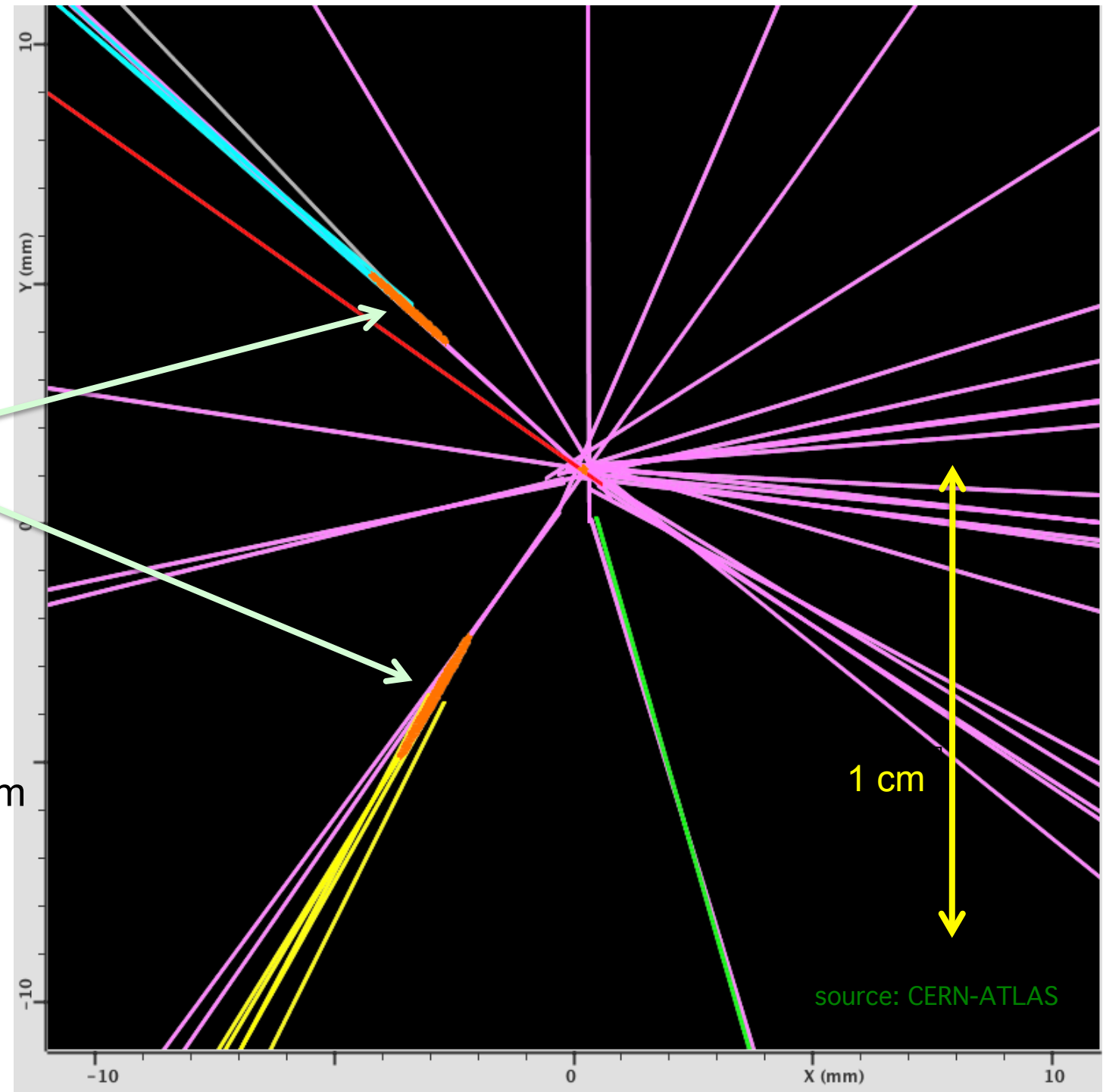


ATLAS

Details around
Primary Vertex

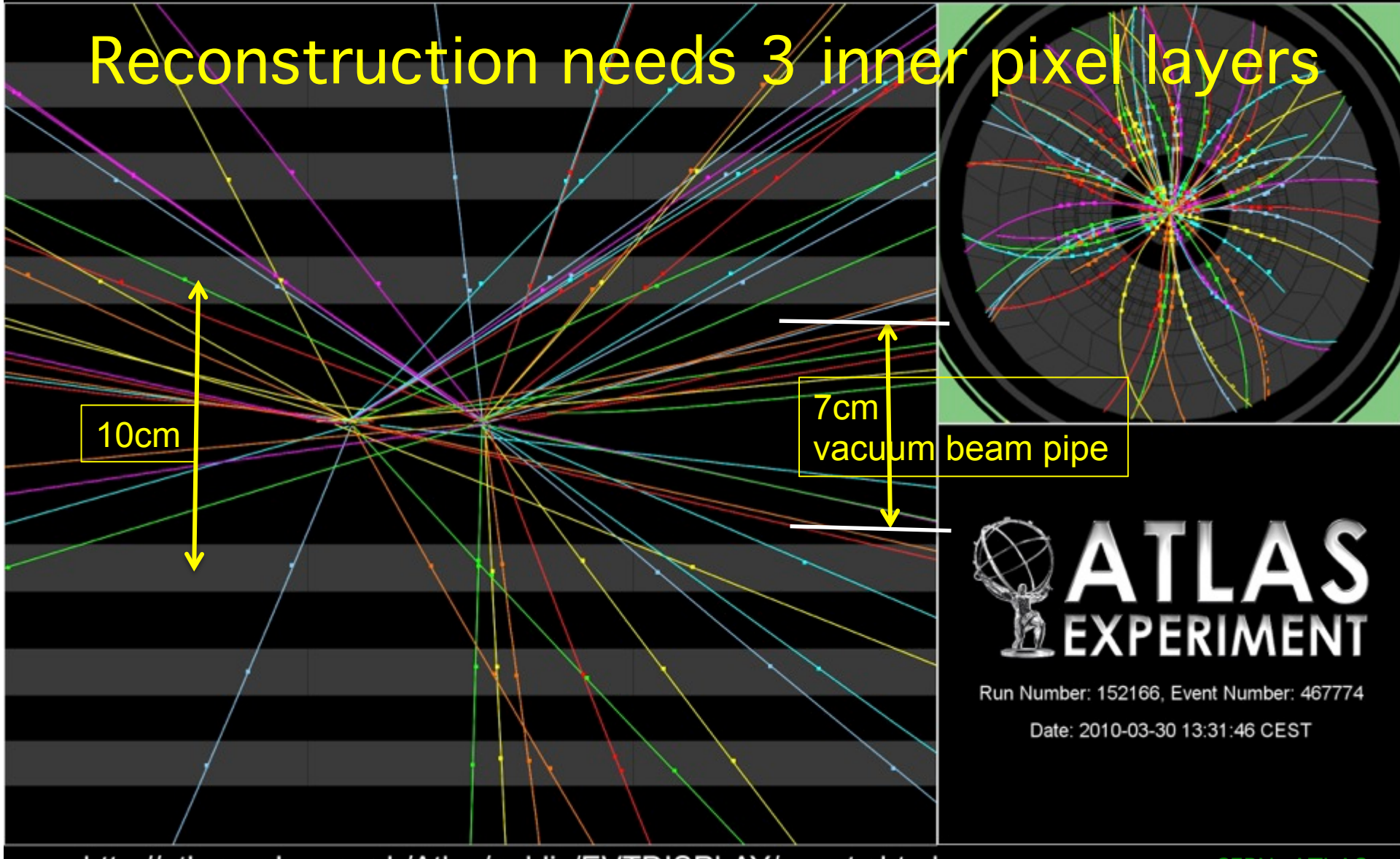
Two Secondary
Vertices

Note scale
1cm
all this is INSIDE
beam pipe \emptyset 7cm



Collision Event at 7 TeV with 2 Pile Up Vertices

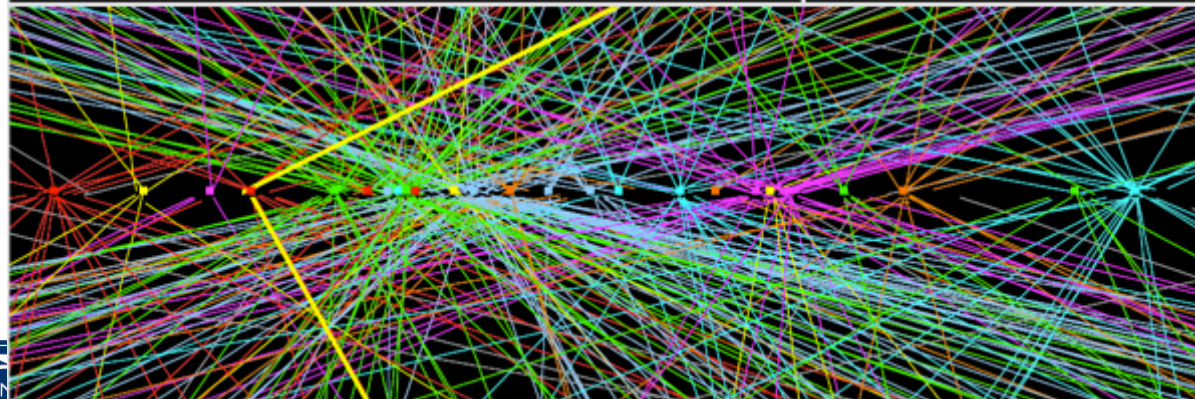
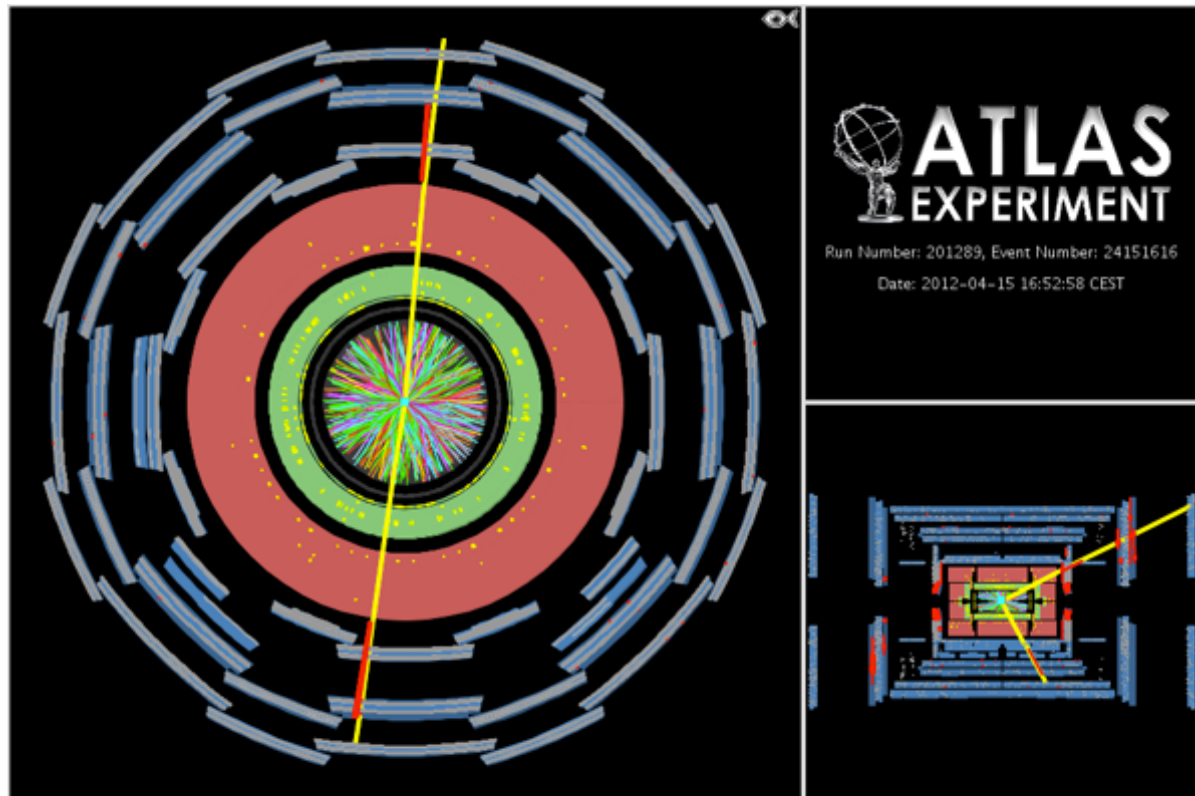
Reconstruction needs 3 inner pixel layers



Run Number: 152166, Event Number: 467774

Date: 2010-03-30 13:31:46 CEST

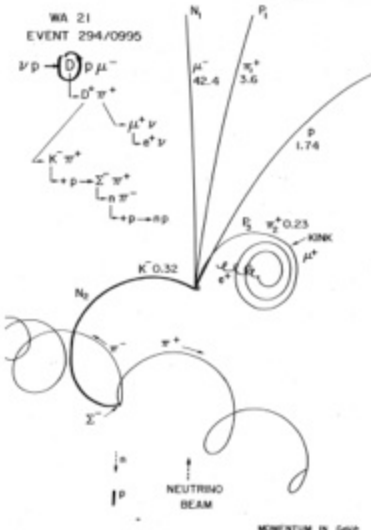
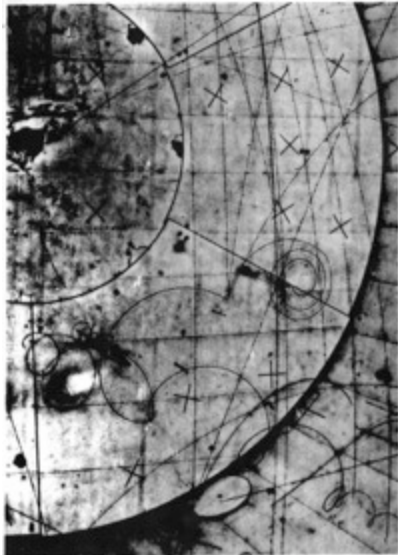
Multiple interactions in one LHC crossing



ERIK HEIJNE CERN EP Department

NNV bezoek 26 september 2017

Study of elementary particles: from Bubble Chambers to fully Electronic Imagers



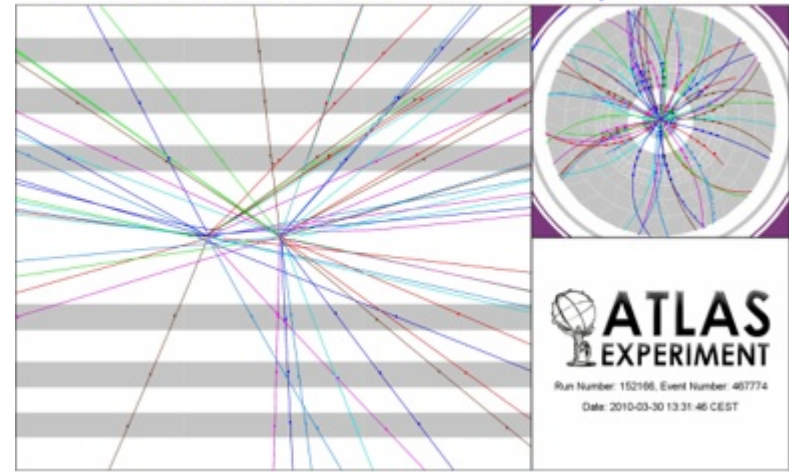
BEBC 1981
photo every ~ 1 s

40 million
records per s



ATLAS experiment 2012

Collision Event at 7 TeV with 2 Pile Up Vertices



Liquid H silicon for vertexing (but image information is lost)

Timepix miniaturised readout

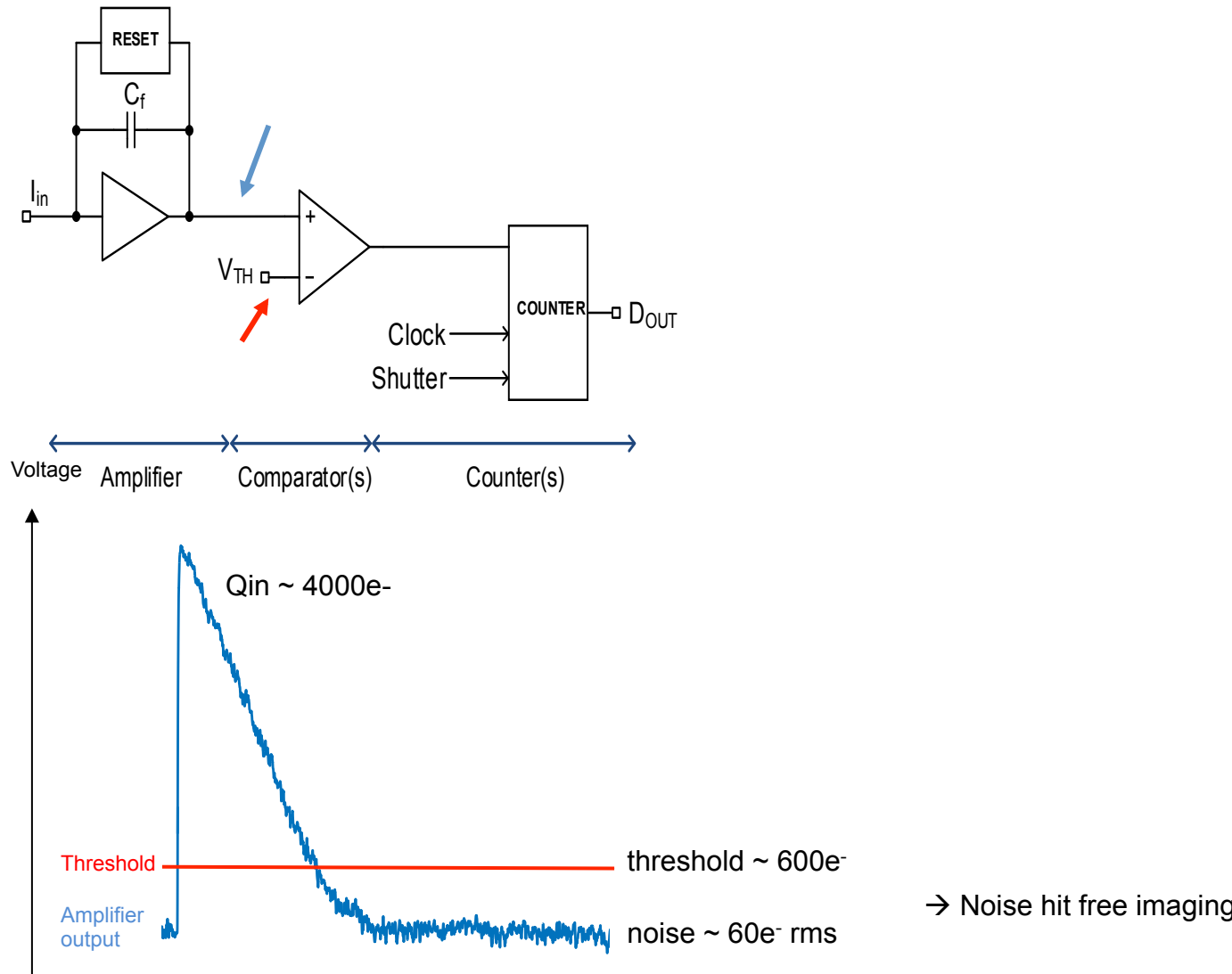


Erik HEIJNE CERN EP Department

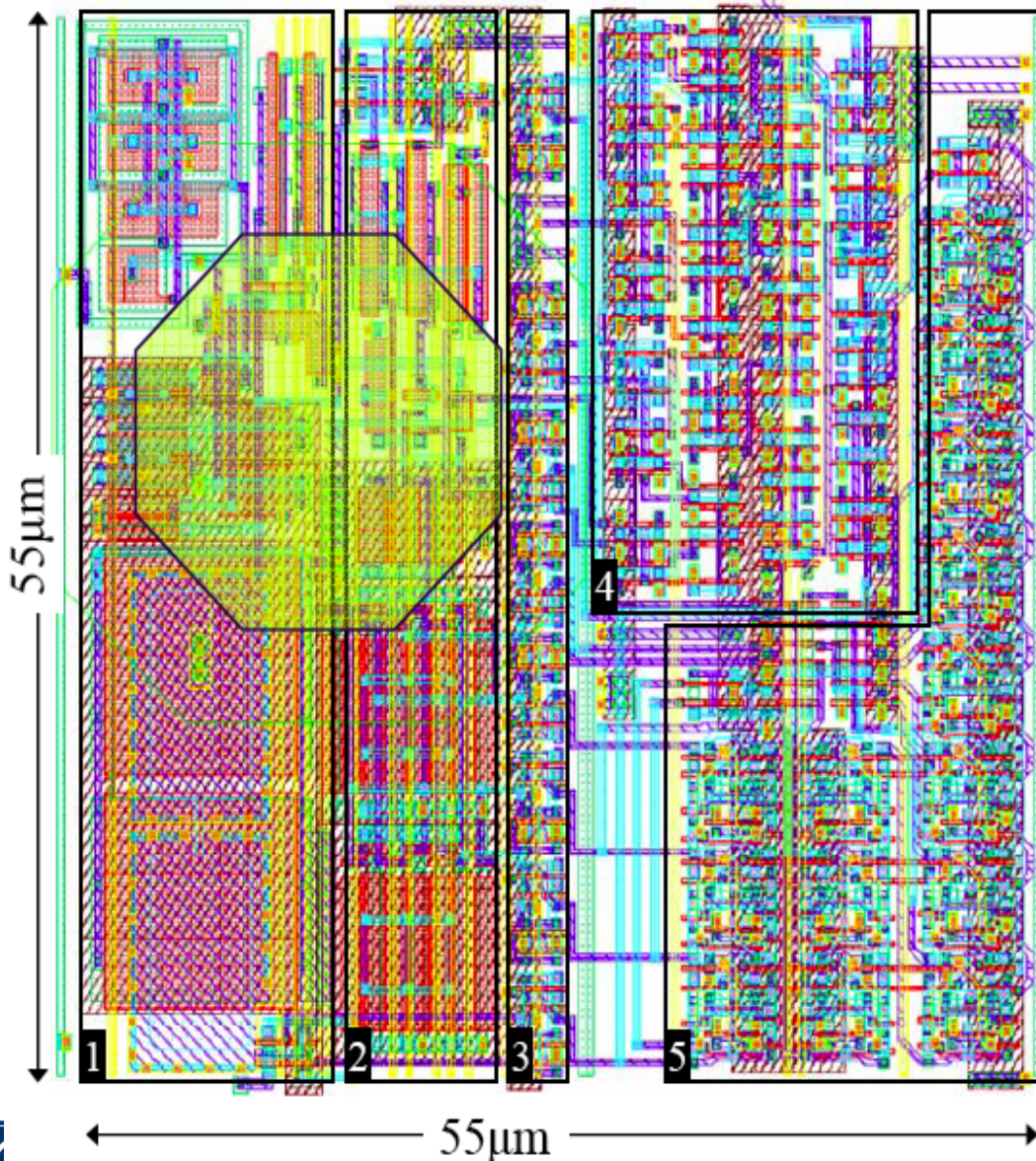
NNV bezoek 26 september 2017

IFAP/CTU, Prague

Hybrid Pixel Detector - Basic Detection Principle



TIMEPIX CELL LAYOUT

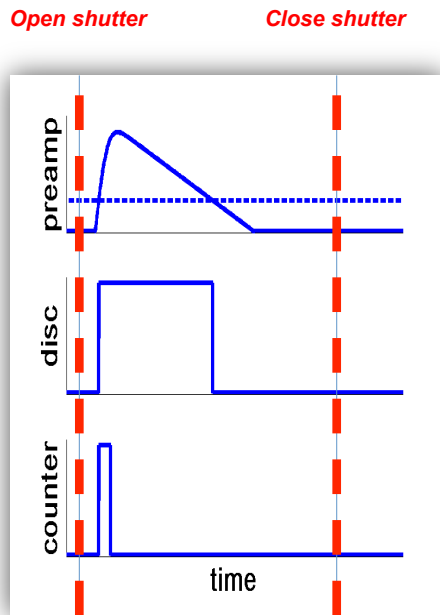


DESIGNER
Xavier LLOPART
CERN
PhD Thesis p. 107

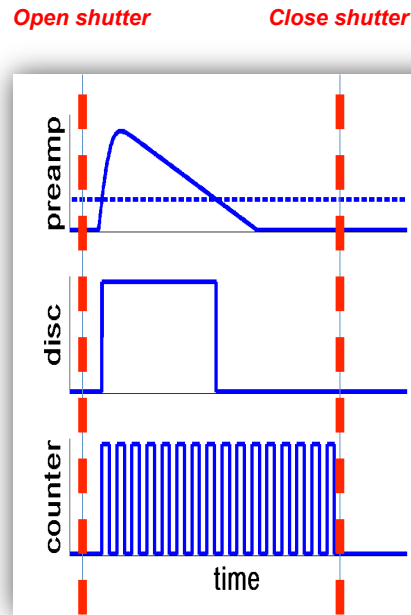
1. PREAMPLIFIER CSA
2. THRESHOLD, 4-BIT TUNING
3. 8-BIT CONF REGISTER
4. REF_CLK & SYNCHR LOGIC
5. 14-BIT COUNTER

Timepix Pixel Operation Modes

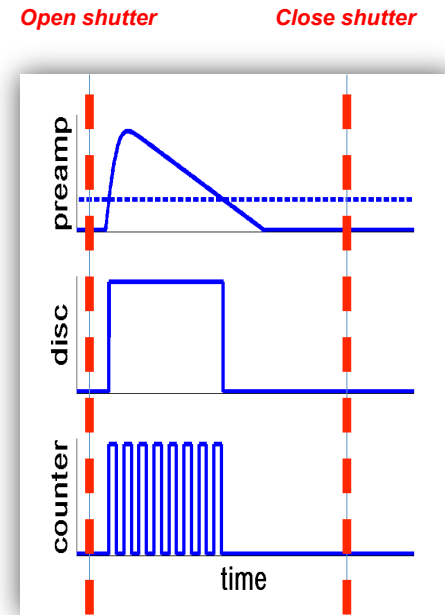
Particle counting



- Arrival Time*



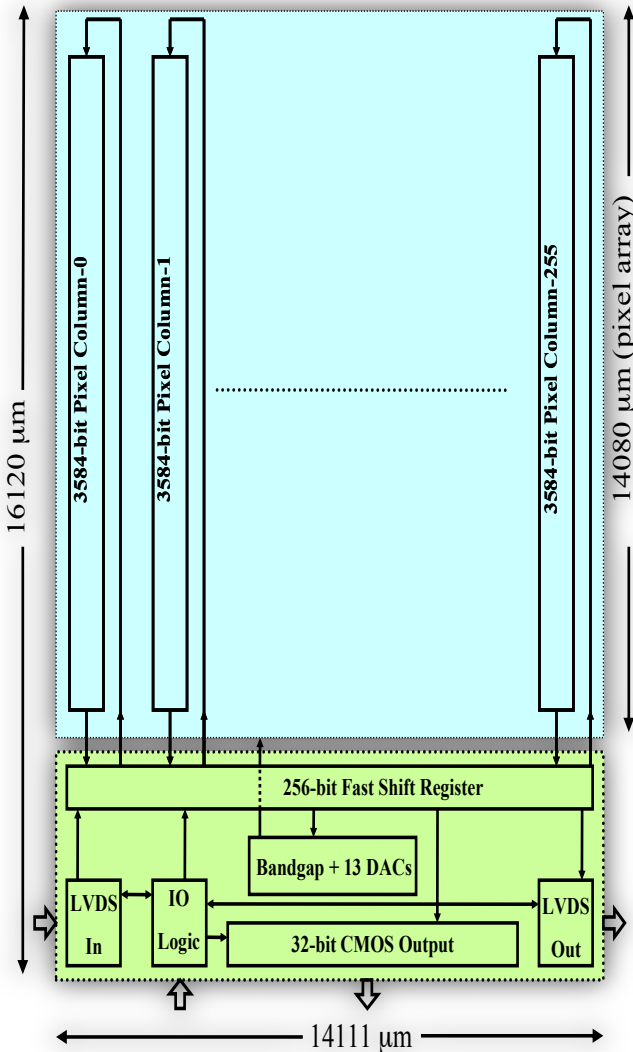
- Time over threshold



* Implemented at the request of the EUDet Collaboration



Timepix chip architecture



3-side Buttable floorplan

In acquisition mode chip an external clock is used as a time reference (up to 100 MHz)

256x256 55μm square pixels

Analog Power → 440mW

Digital Power (Ref_Clk=50MHz) → 220mW

> 36M Transistors

System on chip design:

On-chip digital global biasing:

14 DACs + Bandgap

Simple control logic

Serial readout (@100MHz) → 9.17 ms

Parallel readout (@100MHz) → 287 μs

Daisy-chain (serial only) for simple multiple chip readout



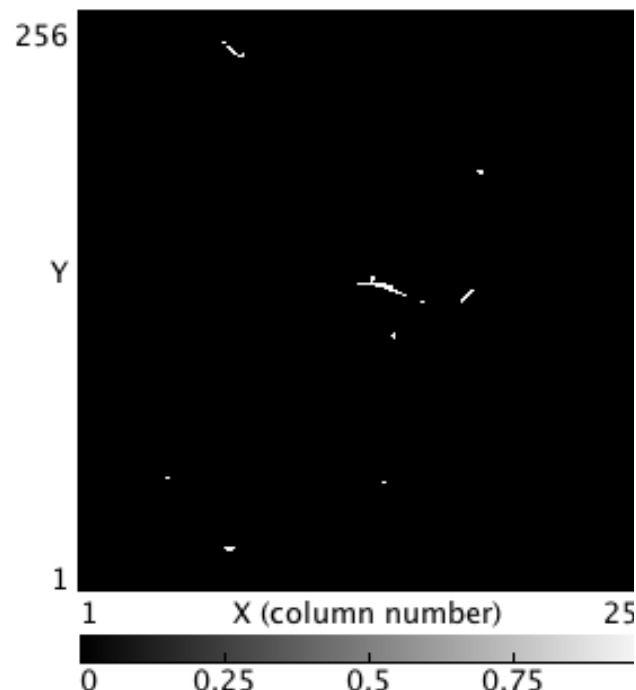
Timepix Specificaties

CMOS node	250nm
Pixel Array	256 x 256
Pixel pitch	55μm
Charge collection	e ⁻ , h ⁺
Pixel functionality	PC (Particle Counting), TOT (Energy) or TOA (Arrival time)
Preamp Gain	~16.5mV/ke ⁻
ENC	~100e ⁻
FE Linearity	Up to 50ke ⁻
TOT linearity (resolution)	Up to 200ke ⁻ (<5%)
TOA resolution	Up to 10ns (@ 100 MHz)
Time-walk	<50ns
Minimum detectable charge	~700e ⁻ → 2.5 KeV (Si Sensor)
Counter Depth/ Overflow	14-bits(11810)/Yes
Max Analog power (2.2V)	6.5μW/pix 190mA/chip
Static Digital Power (2.2V)	~500mW@100MHz/chip
Readout (@ 100 MHz)	Serial readout → 9.17 ms 32-bit Parallel readout → 287 μs

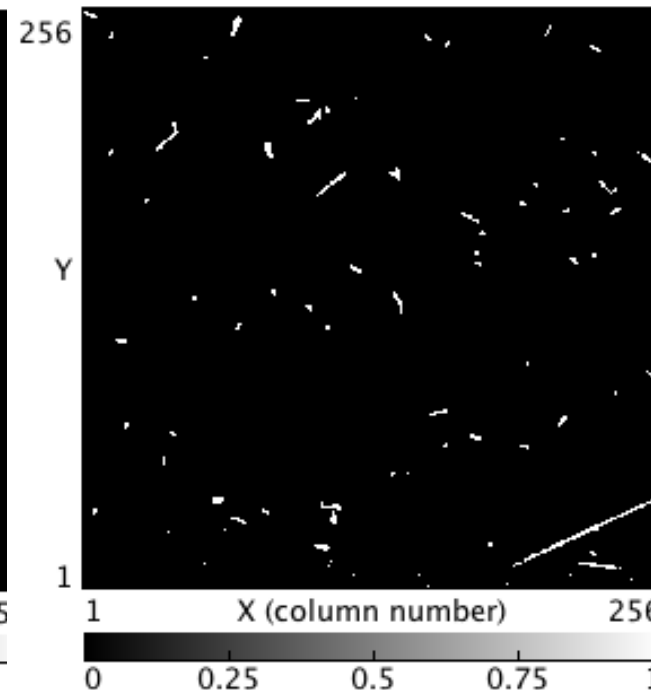


Single Quanta zijn overal om ons heen

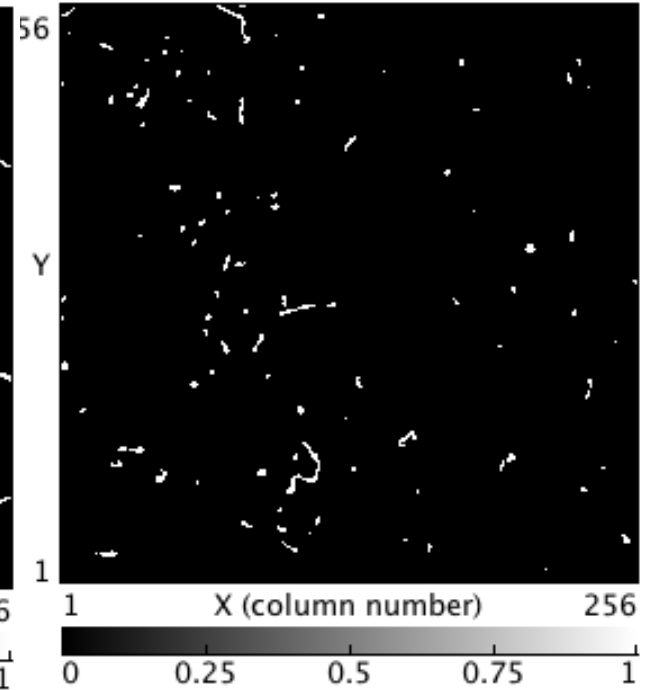
60s Exposure at
ground level



60s Exposure in plane
at 24 000 feet



6s Exposure with old
wristwatch (radium)



Dose levels steeds nog op veilig niveau

COSMIC PARTICLES in MXR Si PIXEL

256 x 256 PIXELS

300 μm THICK

CAN BE
RADIATION
DOSE METER

IDENTIFY SPECIFIC QUANTA

ELECTRONS

PHOTONS

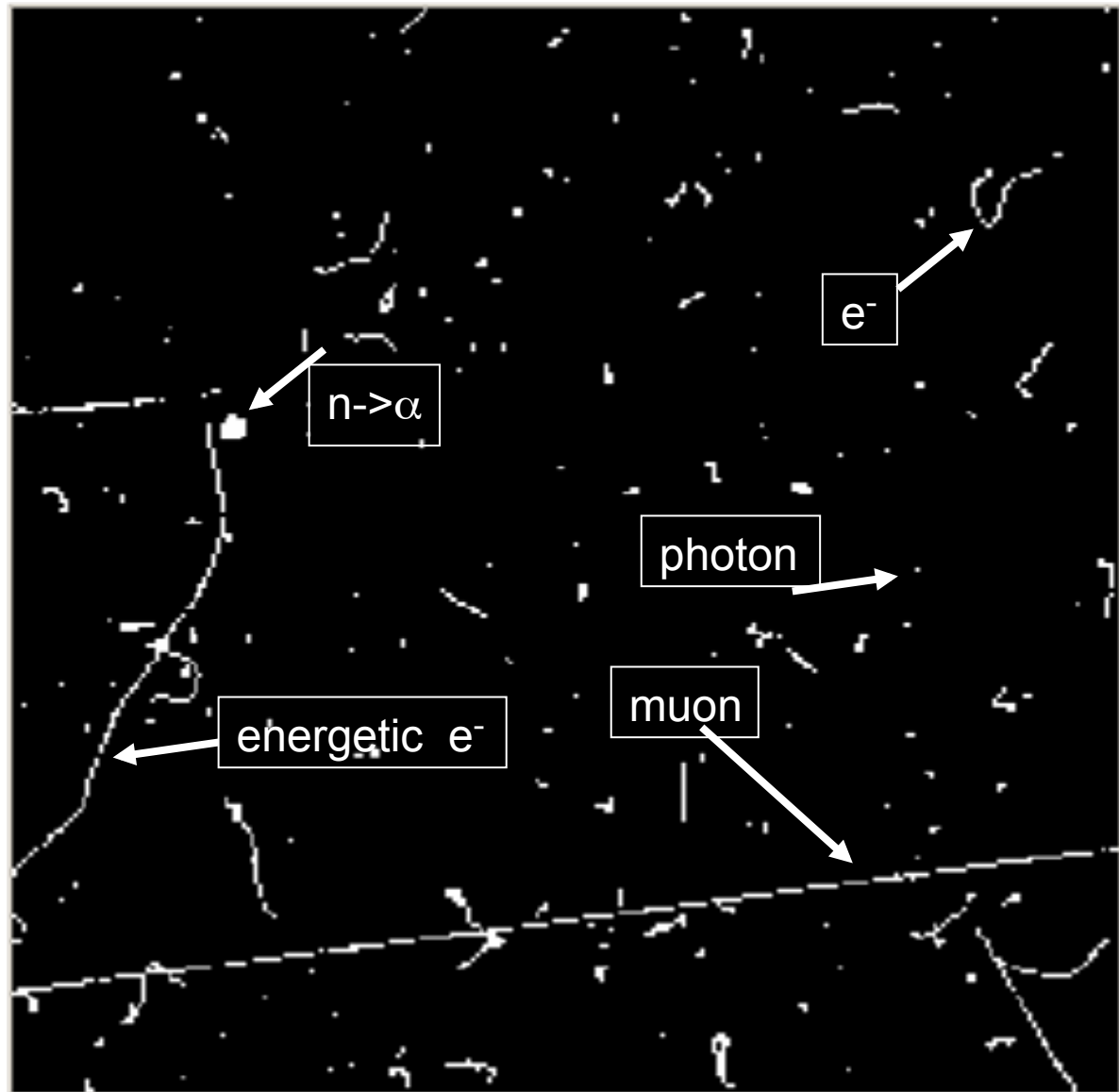
MIPs

NEUTRONS \rightarrow ALPHAs

ADJUSTABLE EXPOSURE

ms - minutes GIVES

LARGE DYNAMIC RANGE



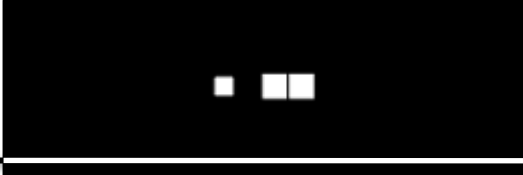
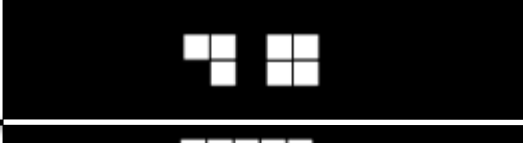
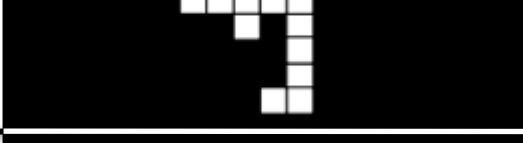
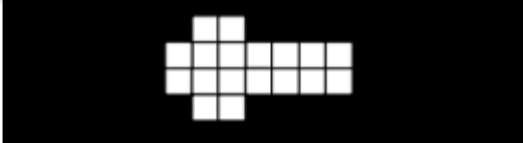
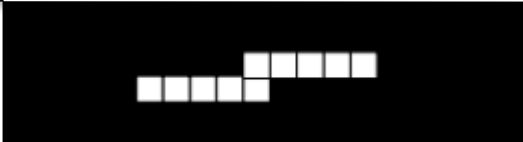
Frame CTU Prague



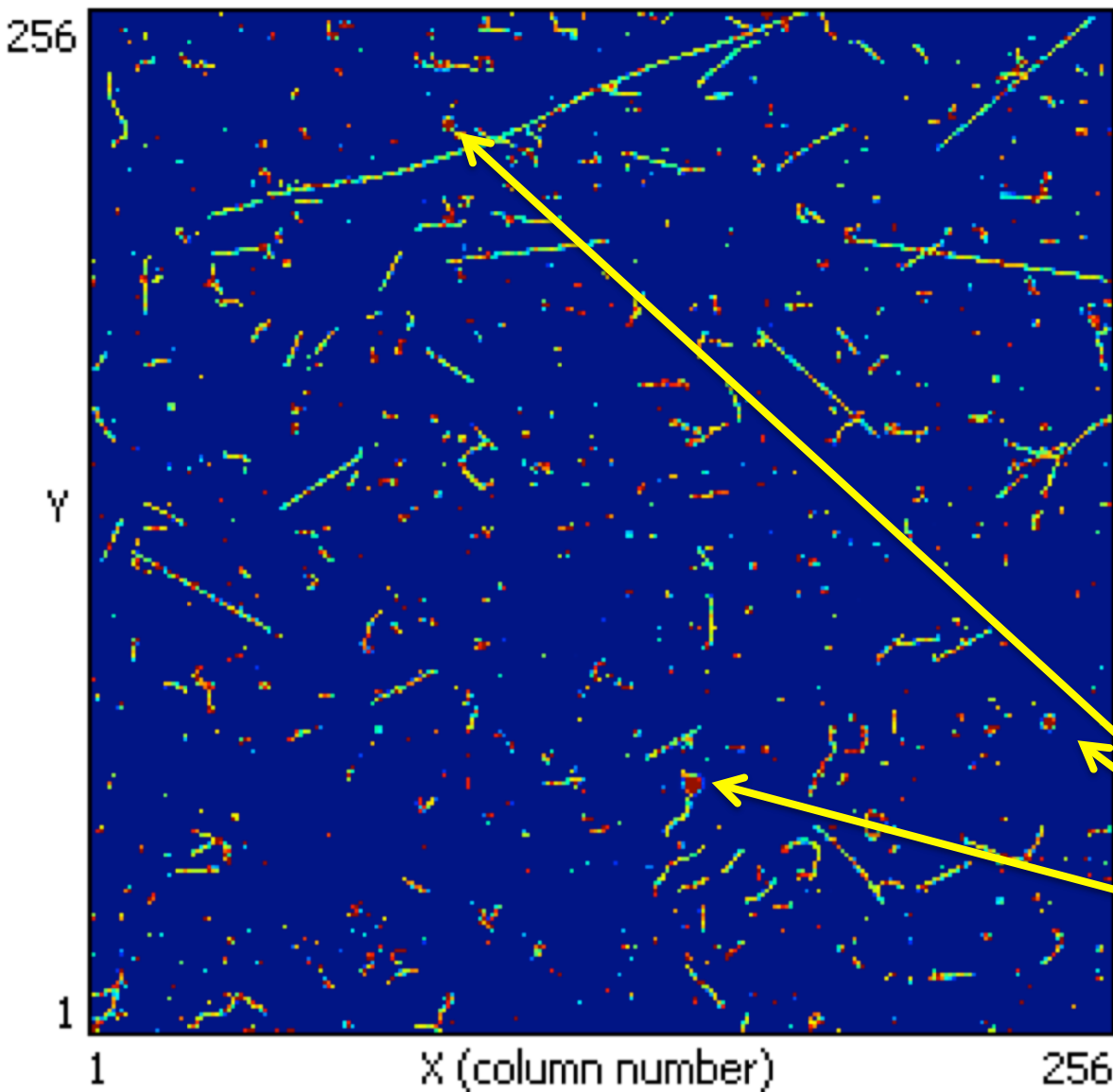
Erik HEIJNE CERN EP Department

NNV bezoek 26 september 2017

Characteristic cluster patterns in Medipix

1) Dot		Photons and electrons (10keV)
2) Small blob		Photons and electrons (~100keV)
3) Curly track		Electrons (MeV range)
4) Heavy blob		Heavy ionizing particles with short range (alpha particles,...)
5) Heavy track		Heavy ionizing particles (protons,nuclei, Fe, ...)
6) Straight track		Energetic light charged particles (MIP, Muons,...)





kwt-011May12-j-D9W15-tot-3n-4764s

E.H.M. Heijne et al. NIMA699(2013) 198

Natural background at home with Medipix-T

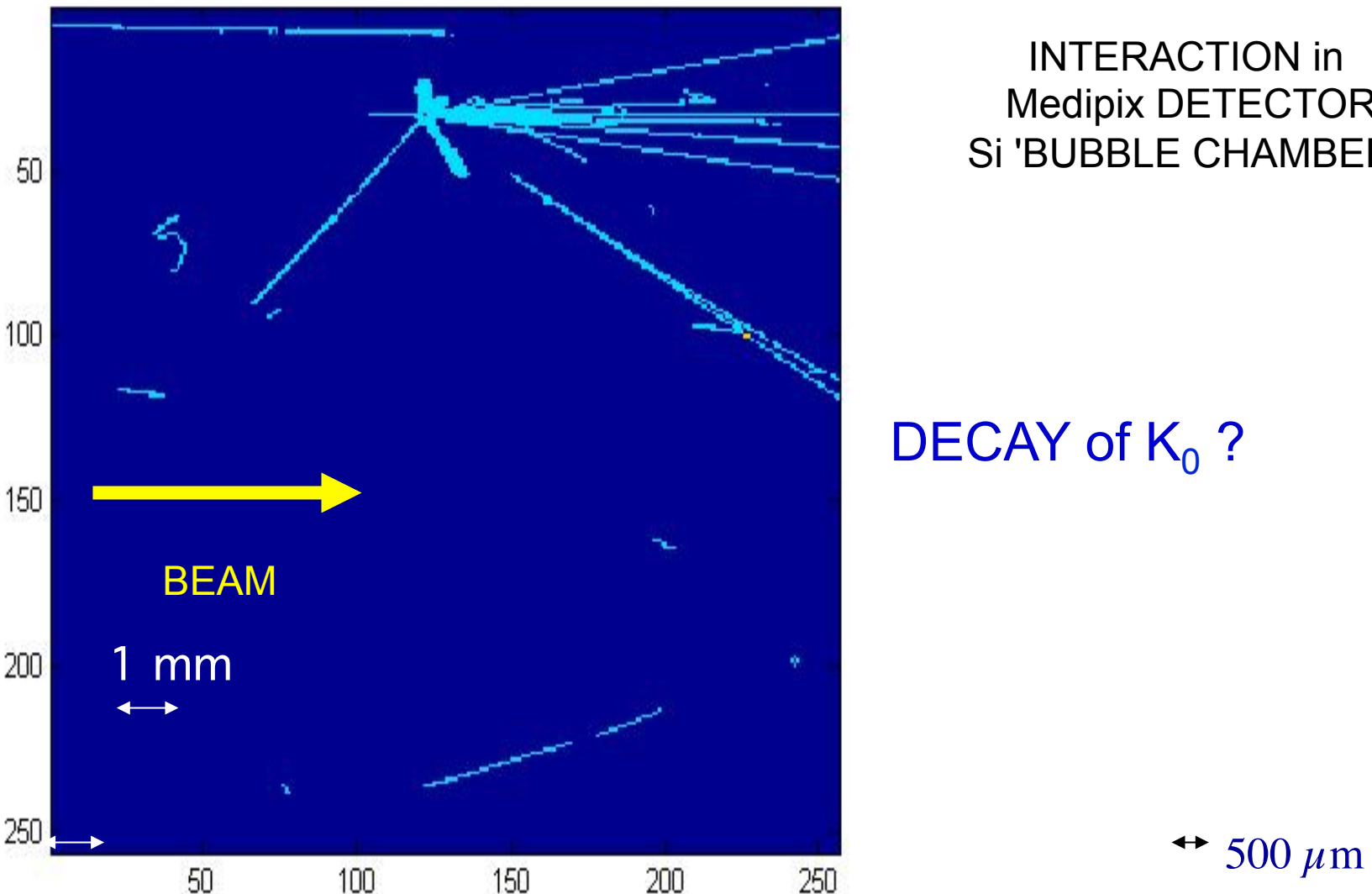
0.51 mSv el.mag.component
0.63 mSv alpha.component

4764s exposure
(extrapolated per year)

dose per hour
e.m. 0.06 uSv/h
alpha 0.07 uSv/h

The 3 alpha impacts
contribute >half of the dose

120 GeV PIONS in Si IMAGER : MEDIPIX



Erik HEIJNE CERN EP Department

NNV bezoek 26 september 2017

July 2006 Parallel Medipix P-05-0583

TIMEPIX CHIP as SILICON 'EMULSION' or 'BUBBLE CHAMBER'

H6 PION BEAM 2007

INCIDENT from RIGHT

BEAM

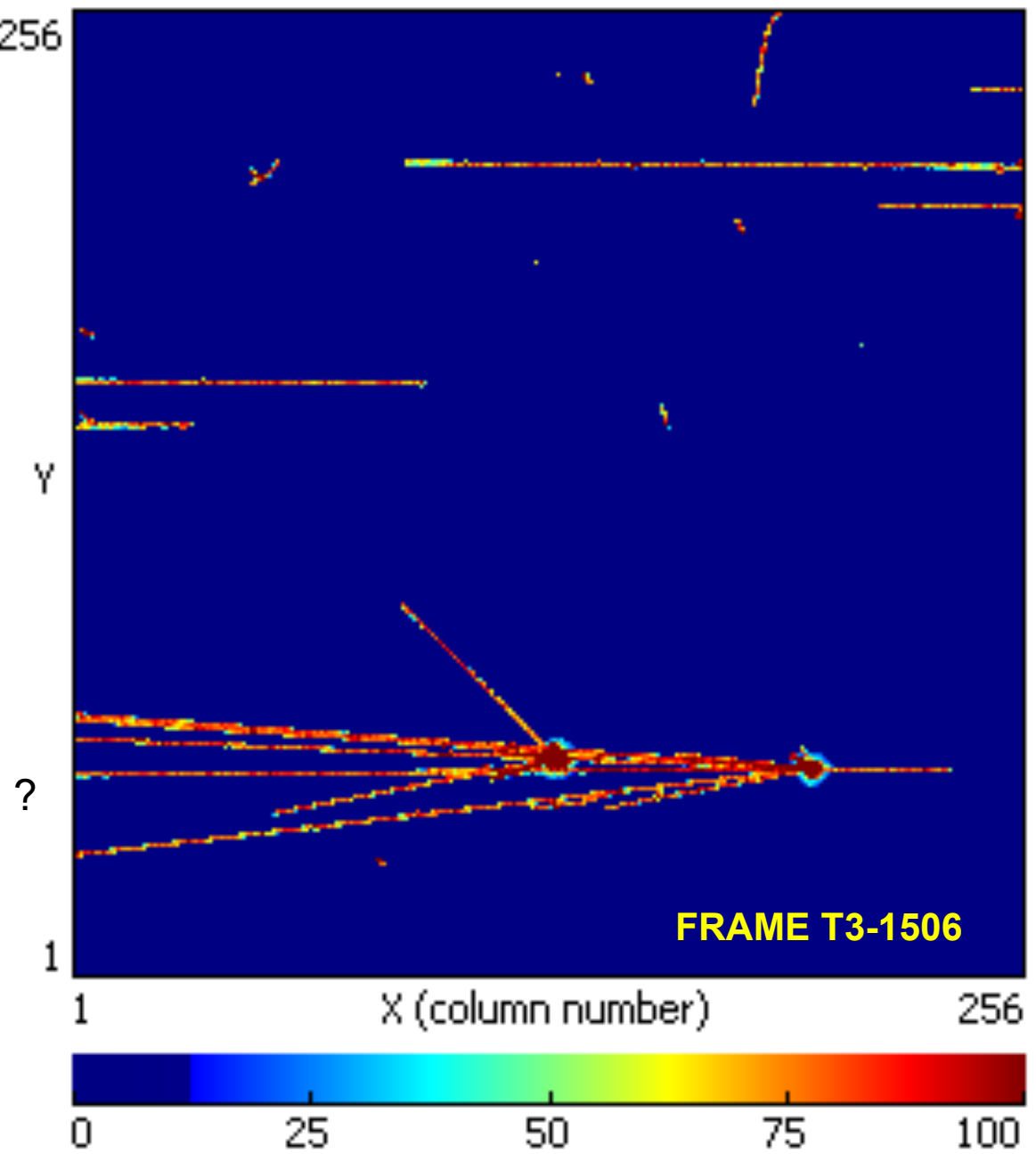


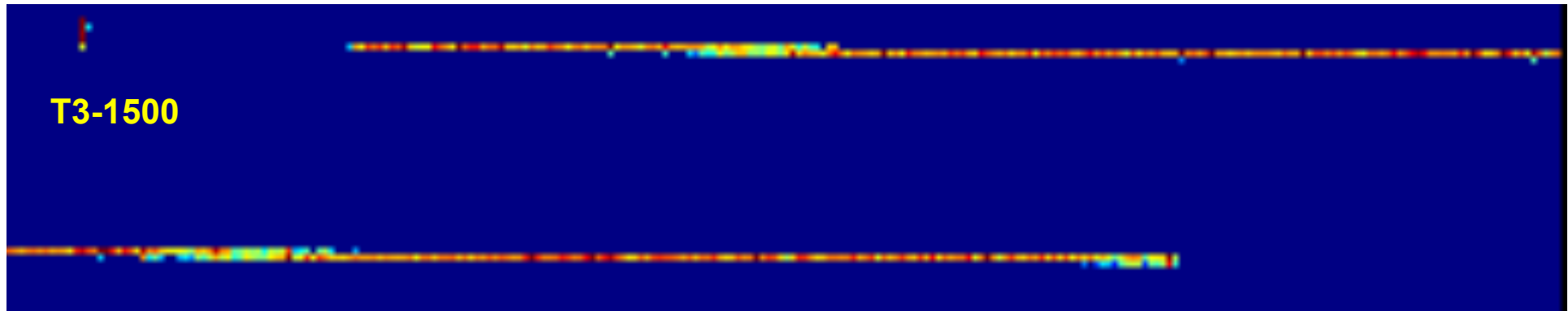
WHICH DIRECTION of TRAILS ?

with John Idarraga / Montréal
now

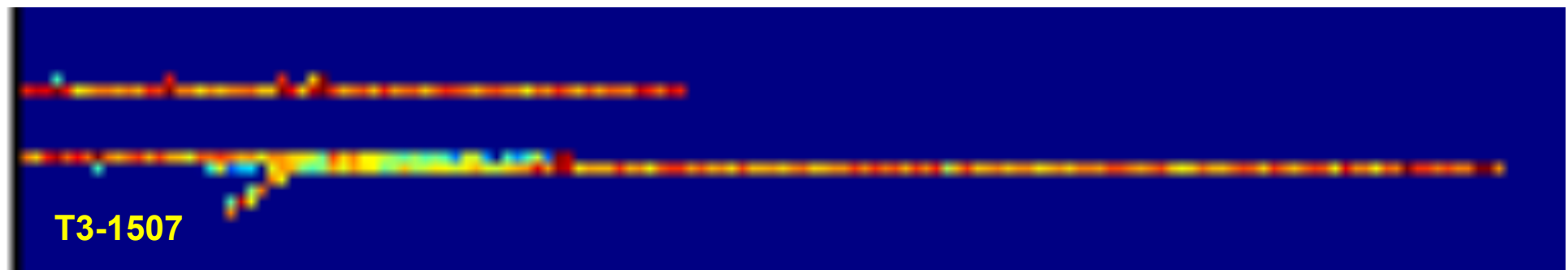
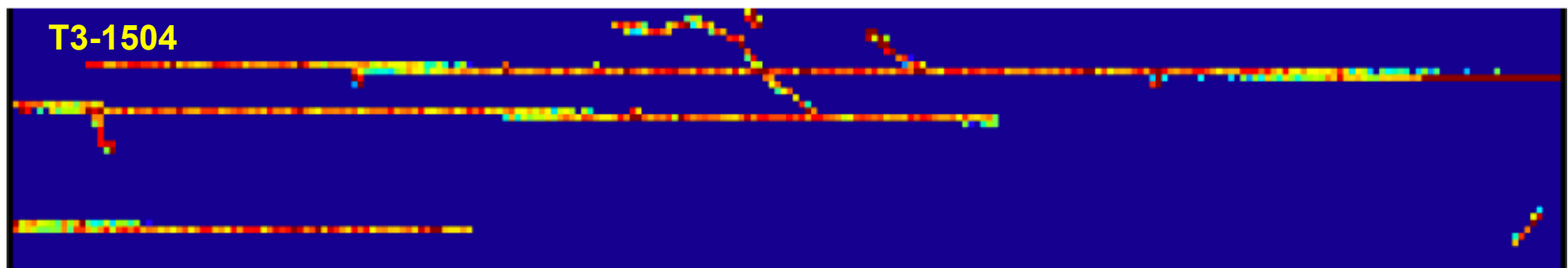


Erik HEIJNE CERN EP Departmer

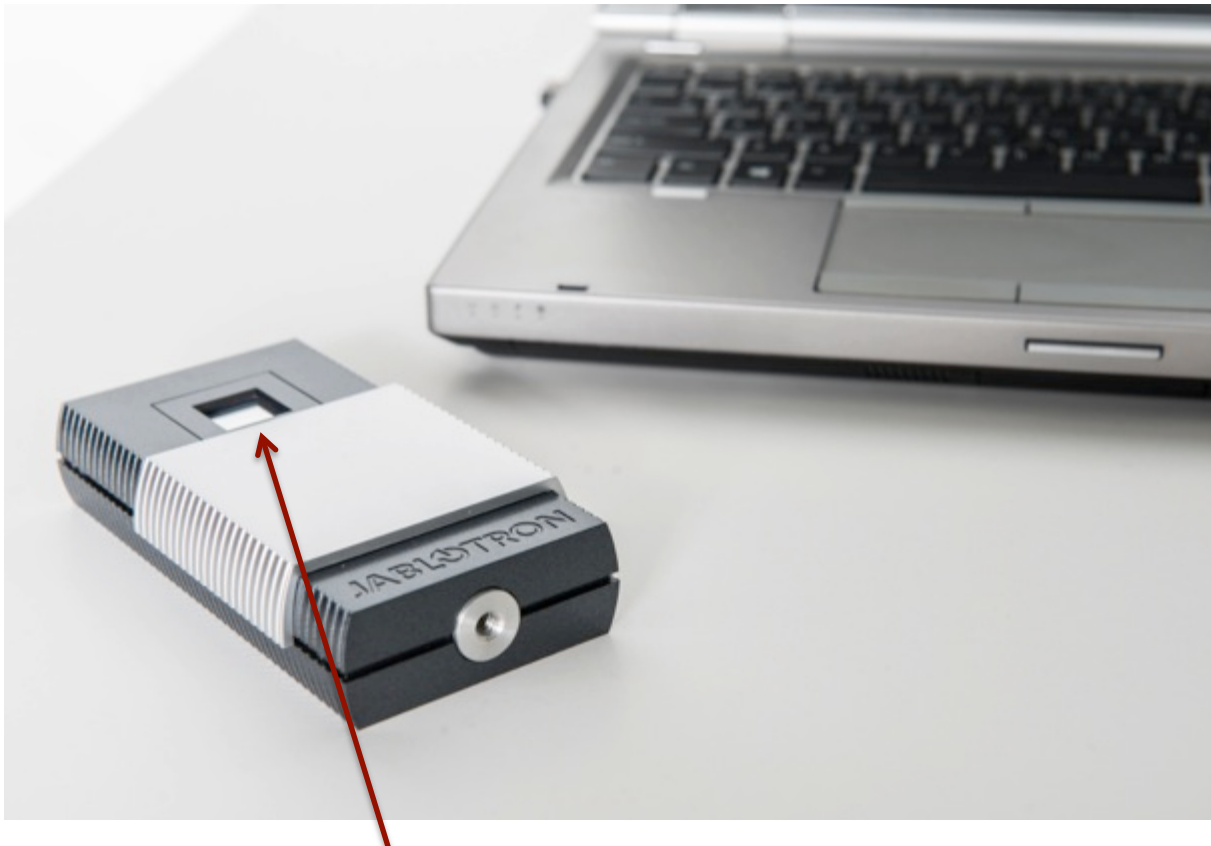




TYPICAL TRAILS ...



Radiation imager for schools with educational kit

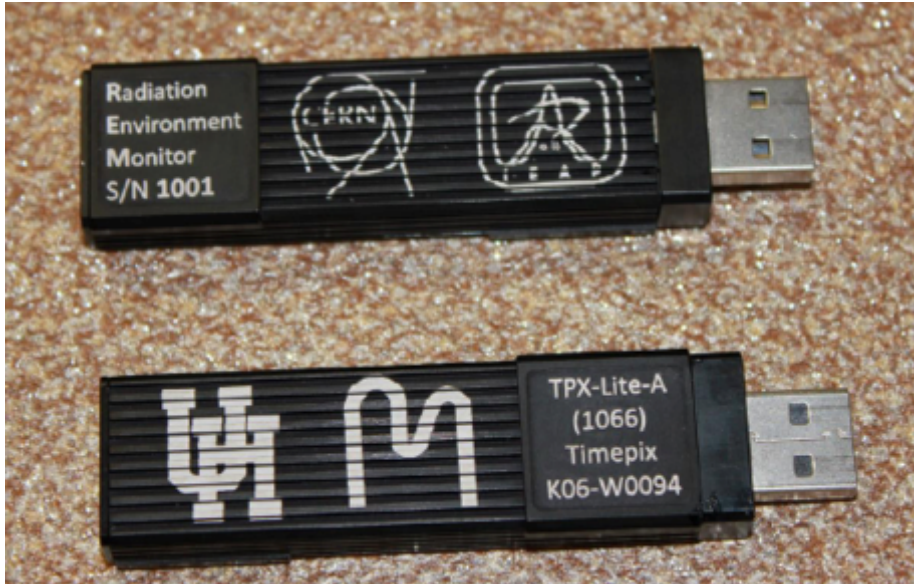


CERN Timepix inside

<http://ardent.web.cern.ch/ardent/ardent.php>

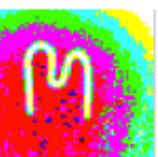
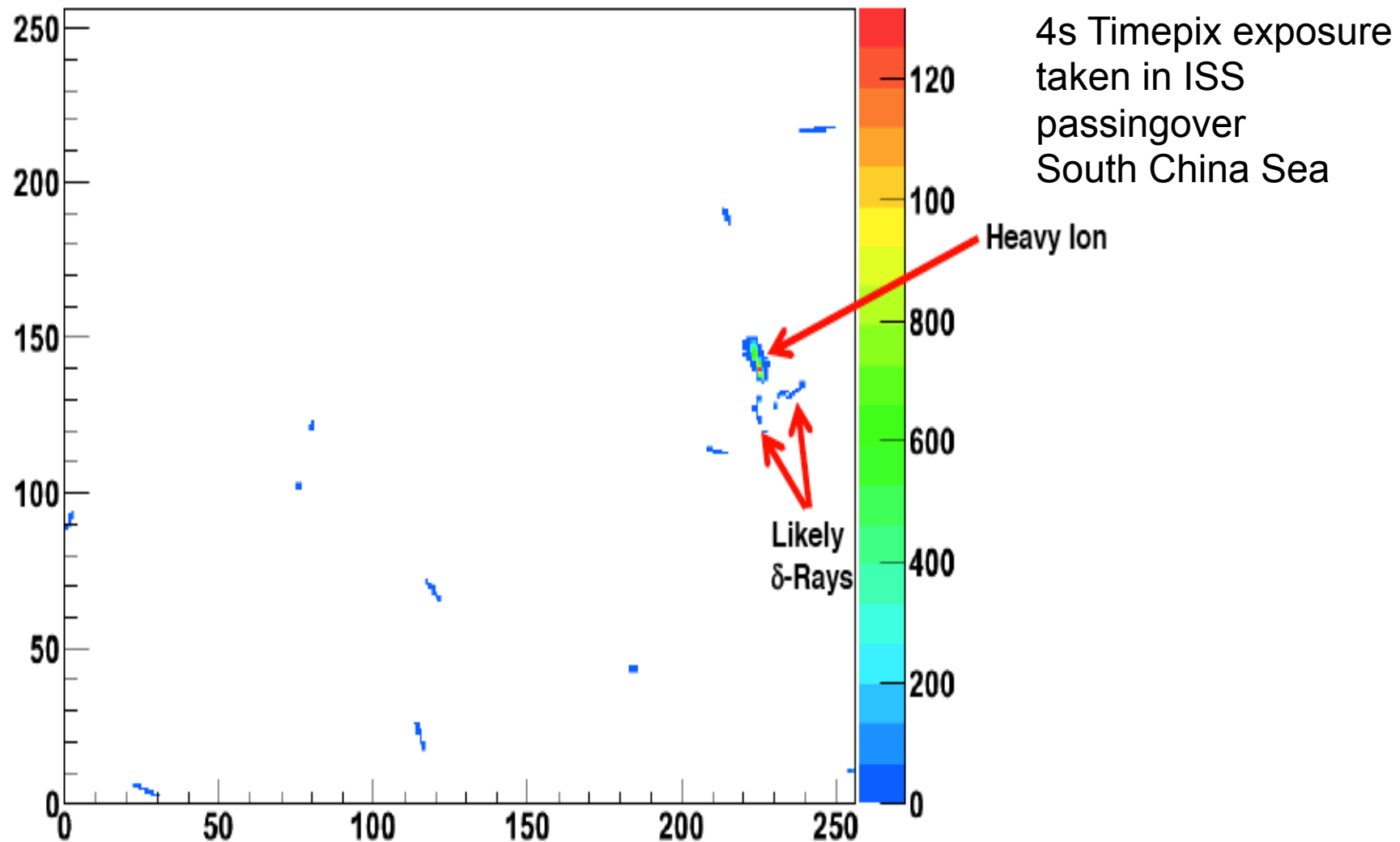


Pixel chips for dosimetry in Int Space Station ISS

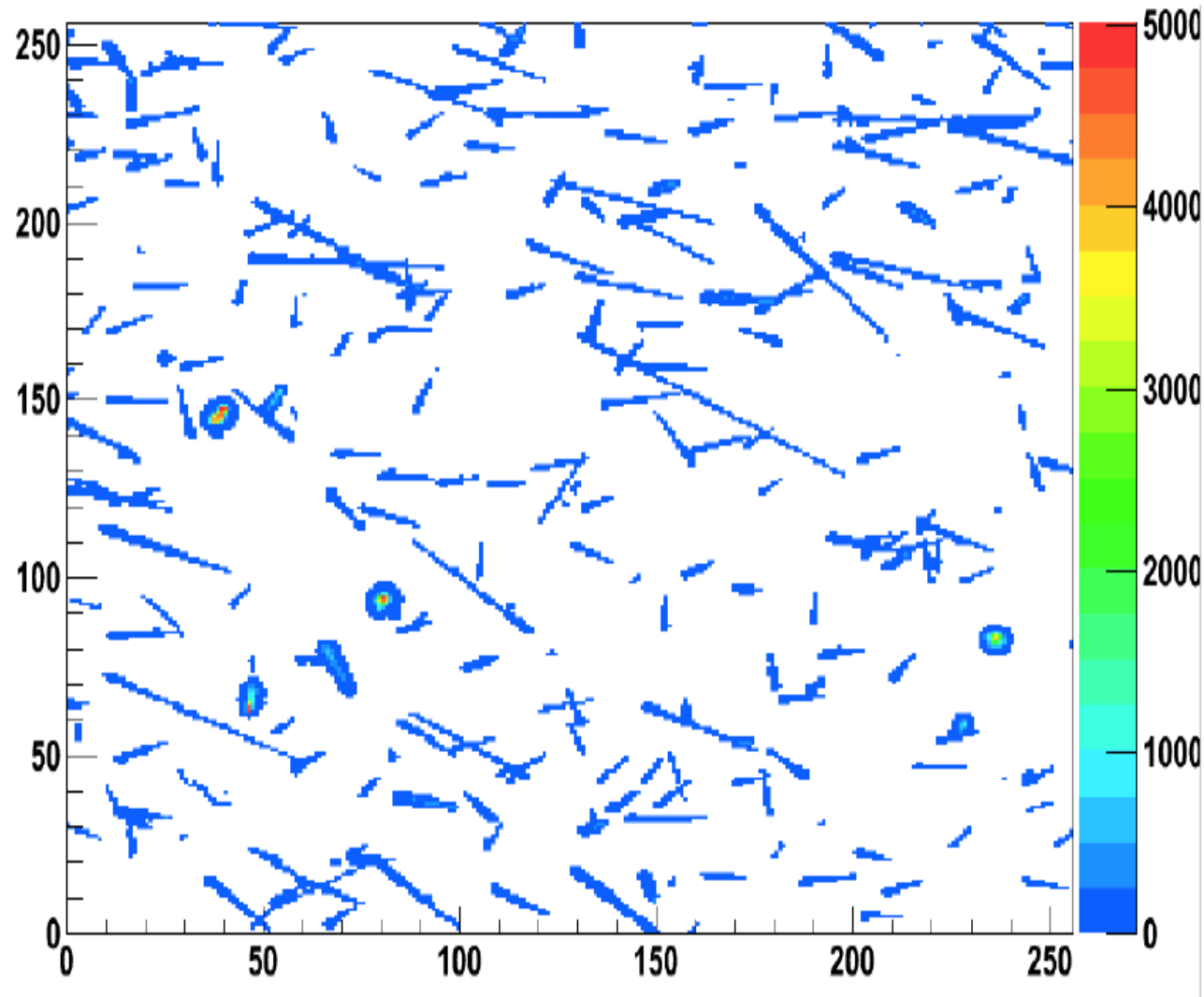


AMS largest experiment....
Pixel chip maybe smallest

Dosimetry at the Int Space Station ISS



Dosimetry at the Int Space Station ISS



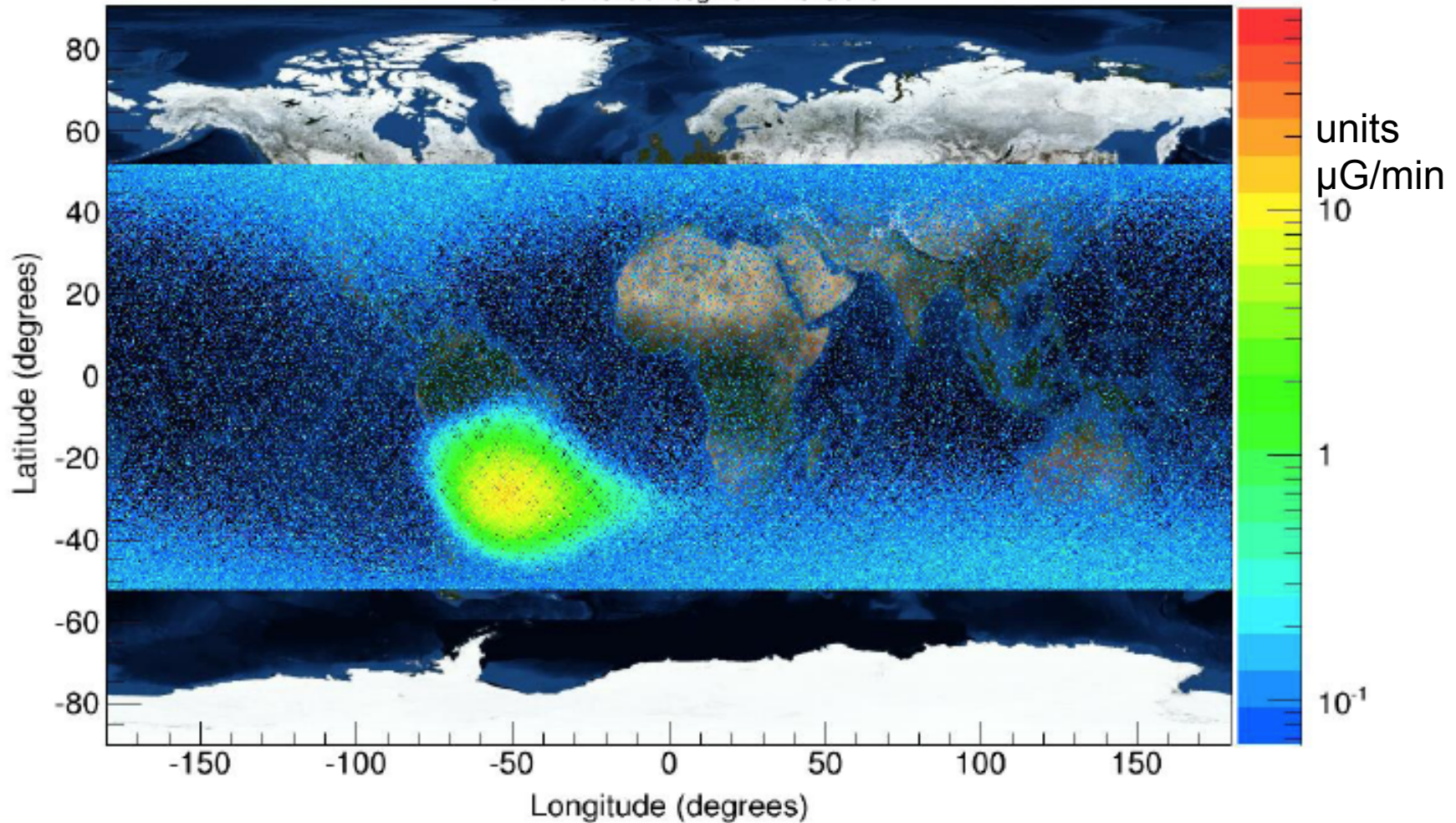
4s Timepix exposure
taken in ISS
passing through SAA
South America Anomaly

Dosimetry at the Int Space Station ISS

REM Orbital Dose Rate Map ($\mu\text{G}/\text{min}$)

D03-W0094 (S/N 1007)

GMT 2012/320 through GMT 2013/045

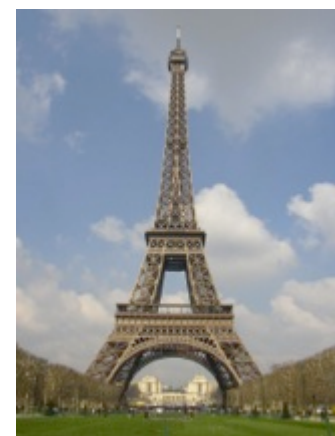




STONE AGE



BRONZE AGE



IRON AGE



SILICON AGE

Besluit



Erik HEIJNE CERN EP Department

NNV bezoek 26 september 2017